

Politechnika Warszawska

Wydział Elektroniki i Technik Informacyjnych

Technika automatyzacji procesów

Projekt I

Zbiornik z mieszaniem
(zadanie 3)

Prowadzący:

Dr inż. Piotr Marusak

Autorzy:

Jan Zgorzelski 295001

Mateusz Grochowina 286467

Bartosz Bok 285709

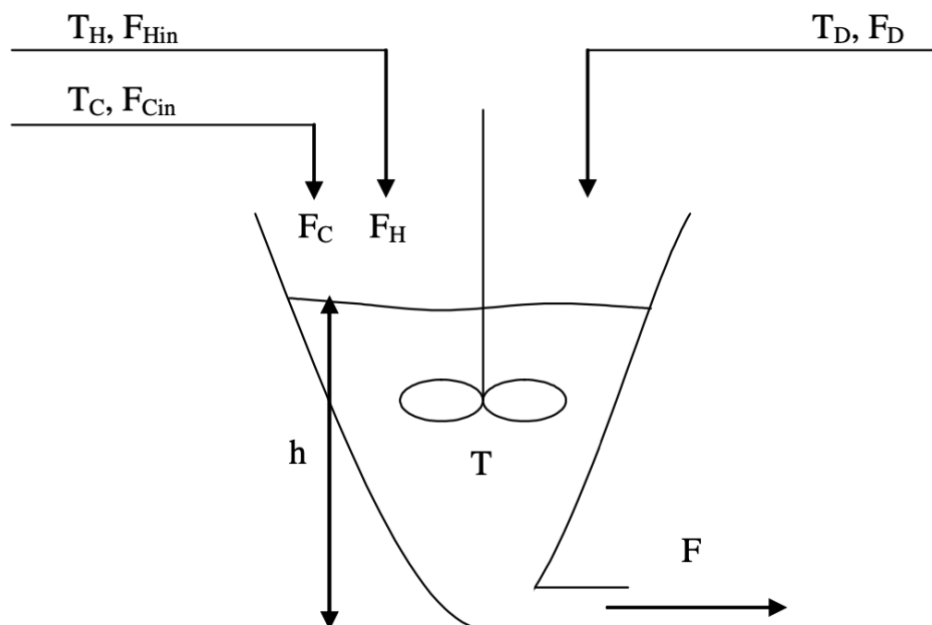
Warszawa, 15 kwietnia 2020

Spis treści

OPIS OBIEKTU.....	3
DANE DO ZADANIA.....	4
DECYZJE PROJEKTOWE.....	4
REALIZACJA ZADANIA	5
PODPUNKT A).....	5
<i>Odpowiedź obiektu</i>	<i>6</i>
PODPUNKT B).....	7
<i>Skok zmiennej wejściowej FH o -5 i FC o -10.....</i>	<i>7</i>
<i>Skok zmiennej wejściowej FH o -15 i FC o -15.....</i>	<i>8</i>
<i>Skok zmiennej wejściowej FH o 15 i FC o 10.....</i>	<i>9</i>
<i>Skok zmiennej wejściowej FH o 20 i FC o 25.....</i>	<i>10</i>
<i>Skok zmiennej wejściowej FH o 10 i FC o -15.....</i>	<i>11</i>
<i>Skok zmiennej wejściowej FH o -20 i FC o 25.....</i>	<i>12</i>
<i>Skok zmiennej wejściowej FH o 10 i FC o -10.....</i>	<i>13</i>
<i>Skok zmiennej wejściowej FH o 15 i FC o 15 - obiekt bez opóźnień.....</i>	<i>14</i>
<i>Różnice i podobieństwa</i>	<i>15</i>
PODPUNKT C).....	17
<i>Skok zmiennej wejściowej FH o -10 i FC o -5 - obiekt bez opóźnień.....</i>	<i>17</i>
<i>Skok zmiennej wejściowej FH o -20 i FC o -20 - obiekt bez opóźnień.....</i>	<i>18</i>
<i>Skok zmiennej wejściowej FH o 10 i FC o 5 - obiekt bez opóźnień.....</i>	<i>19</i>
<i>Skok zmiennej wejściowej FH o 15 i FC o 15 - obiekt bez opóźnień.....</i>	<i>20</i>
<i>Skok zmiennej wejściowej FH o 10 i FC o -10 - obiekt bez opóźnień.....</i>	<i>21</i>
<i>Skok zmiennej wejściowej FH o 20 i FC o -15 - obiekt bez opóźnień.....</i>	<i>22</i>
<i>Skok zmiennej wejściowej FH o -10 i FC o 20 - obiekt bez opóźnień.....</i>	<i>23</i>
<i>Dyskusja</i>	<i>24</i>
PODPUNKT D)	25

Opis obiektu

W realizowanym projekcie obiekt stanowił zbiornik, którego schemat poglądowy przedstawiony został na rysunku 1.



Rysunek 1: „Schemat obiektu”

W zbiorniku mieszana jest:

- wodą gorącą o temperaturze T_H oraz przepływie F_H z
- wodą zimną o temperaturze T_C oraz przepływie F_C z
- dopływem zakłócającym o temperaturze T_D oraz przepływie F_D

Proces opisany jest równaniami:

$$\left\{ \begin{array}{l} \frac{dV}{dt} = F_H + F_C + F_D - F(h) \\ V \frac{dT}{dt} = F_H * T_H + F_C * T_C + F_D * T_D - (F_H + F_C + F_D) * T \\ F(h) = \alpha \sqrt{h}, V(h) = C * h^2, F_H(t) = F_{Hin}(t - \tau_H), F_C(t) = F_{Cin}(t - \tau_C) \end{array} \right.$$

Dane do zadania

Stałe:

$$C = 4, \alpha = 10$$

Punkt pracy:

$$T_c = 30^\circ\text{C}, T_c = 70^\circ\text{C}, T_c = 43^\circ\text{C}$$

$$F_c = 40\text{cm}^3/\text{s}, F_H = 25\text{cm}^3/\text{s}, F_D = 17\text{cm}^3/\text{s}$$

$$\tau_c = 500\text{s}, \tau_H = 400\text{s}, h = 67,24\text{cm}, T = 44,89^\circ\text{C}$$

Wielkości regulowane:

$$h, T$$

Wielkości sterujące:

$$F_{cin}, F_{Hin},$$

Decyzje projektowe

Do numerycznego rozwiązywania równań różniczkowych została zastosowana zmodyfikowana metoda Eulera (MidPoint). W metodzie tej nachylenie jest szacowane na podstawie wartości y w środku przedziału.

$$y_m = y_i + \frac{h}{2}f(x_i, y_i), \quad y_m - \text{liczone zwykłą metodą Eulera}$$

$$\left. \frac{dy}{dx} \right|_{x=x_m} = f(x_m, y_m)$$

$$y_{i+1} = y_i + hf(x_m, y_m)$$

Realizacja zadania

Na podstawie otrzymanego modelu obiektu, zasymulowano jego działanie w MATLABIE

Podpunkt a)

Opracowano modele zlinearyzowane (ciągły w postaci równań stanu i transmitancji) we wskazanym punkcie pracy.

Przejdźcie z modelu zlinearyzowanego do równań stanu

$$\begin{bmatrix} x_1 \\ x_2 \end{bmatrix} = \begin{bmatrix} V \\ T \end{bmatrix}, \begin{bmatrix} y_1 \\ y_2 \end{bmatrix} = \begin{bmatrix} h \\ T \end{bmatrix}, \begin{bmatrix} u_1 \\ u_2 \end{bmatrix} = \begin{bmatrix} F_H \\ F_C \end{bmatrix}$$

$$\dot{x} = Ax + Bu$$

$$y = Cx + Du$$

$$\begin{aligned} \dot{x}_1 &= u_1 + u_2 - \frac{\alpha}{4} * \left(\frac{V_0}{C}\right)^{-\frac{3}{4}} * x_1 \\ \dot{x}_2 &= -x_1 * \left(\frac{F_H * (T_H - T_0) + F_C * (T_C - T_0) + F_D * (T_D - T_0)}{V_0^2} \right) - x_2 \left(\frac{F_H + F_C + F_D}{V_0} \right) + u_1 \\ &\quad * \frac{T_H - T_0}{V_0} + u_2 * \frac{T_C - T_0}{V_0} \end{aligned}$$

$$A = \begin{bmatrix} -\frac{\alpha}{4} * \left(\frac{V_0}{C}\right)^{-\frac{3}{4}} & 0 \\ -\left(\frac{F_H * (T_H - T_0) + F_C * (T_C - T_0) + F_D * (T_D - T_0)}{V_0^2} \right) & -\left(\frac{F_H + F_C + F_D}{V_0} \right) \end{bmatrix}$$

$$B = \begin{bmatrix} \frac{1}{V_0} & \frac{1}{V_0} \\ \frac{T_H - T_0}{V_0} & \frac{T_C - T_0}{V_0} \end{bmatrix}$$

$$C = \begin{bmatrix} \frac{1}{2} \sqrt{\frac{1}{C * V_0}} & 0 \\ 0 & 1 \end{bmatrix} \quad D = 0$$

$$y = \begin{bmatrix} \frac{1}{2} \sqrt{\frac{1}{C * V_0}} & 0 \\ 0 & 1 \end{bmatrix} \begin{bmatrix} x_1 \\ x_2 \end{bmatrix} + 0u$$

$$\begin{aligned} \dot{x} &= \begin{bmatrix} -\frac{\alpha}{4} * \left(\frac{V_0}{C}\right)^{-\frac{3}{4}} & 0 \\ -\left(\frac{F_H * (T_H - T_0) + F_C * (T_C - T_0) + F_D * (T_D - T_0)}{V_0^2} \right) & -\left(\frac{F_H + F_C + F_D}{V_0} \right) \end{bmatrix} \begin{bmatrix} x_1 \\ x_2 \end{bmatrix} \\ &\quad + \begin{bmatrix} \frac{1}{V_0} & \frac{1}{V_0} \\ \frac{T_H - T_0}{V_0} & \frac{T_C - T_0}{V_0} \end{bmatrix} \begin{bmatrix} u_1 \\ u_2 \end{bmatrix} \end{aligned}$$

Transmitancja (z czasem ciągłym)

Dla uzyskanego modelu liniowego w przestrzeni stanu opisanego powyższymi równaniami stanu transmitancja obliczana jest numerycznie ze wzoru:

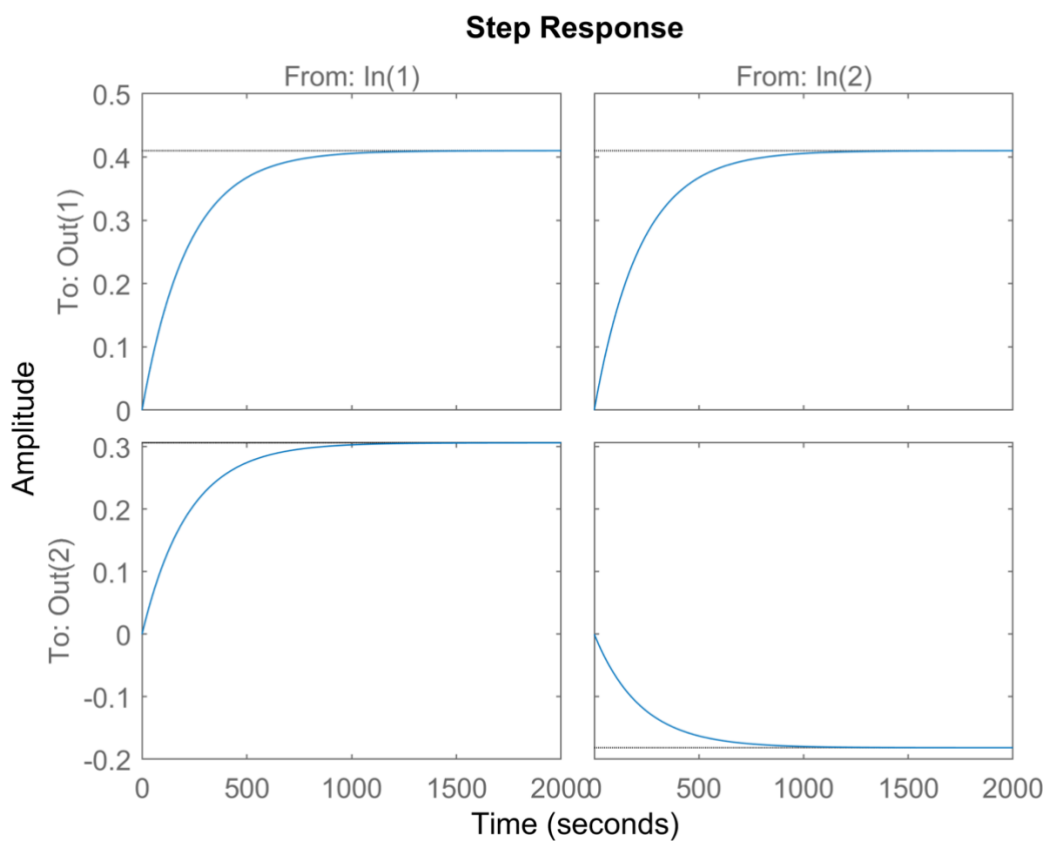
$$G(s) = C(sI - A)^{-1}B + D$$

Transmitancja omawianego obiektu wynosi:

$$G(s) = \begin{bmatrix} \frac{Y_1(s)}{U_1(s)} & \frac{Y_1(s)}{U_2(s)} \\ \frac{Y_2(s)}{U_1(s)} & \frac{Y_2(s)}{U_2(s)} \end{bmatrix}$$

$$G(s) = \begin{bmatrix} \frac{0.001859}{s + 0.004534} & \frac{0.001859}{s + 0.004534} \\ \frac{0.001388s + 0.000006295}{s^2 + 0.009068s + 0.00002056} & \frac{-0.0008234s - 0.000003733}{s^2 + 0.009068s + 0.00002056} \end{bmatrix}$$

Odpowiedź obiektu

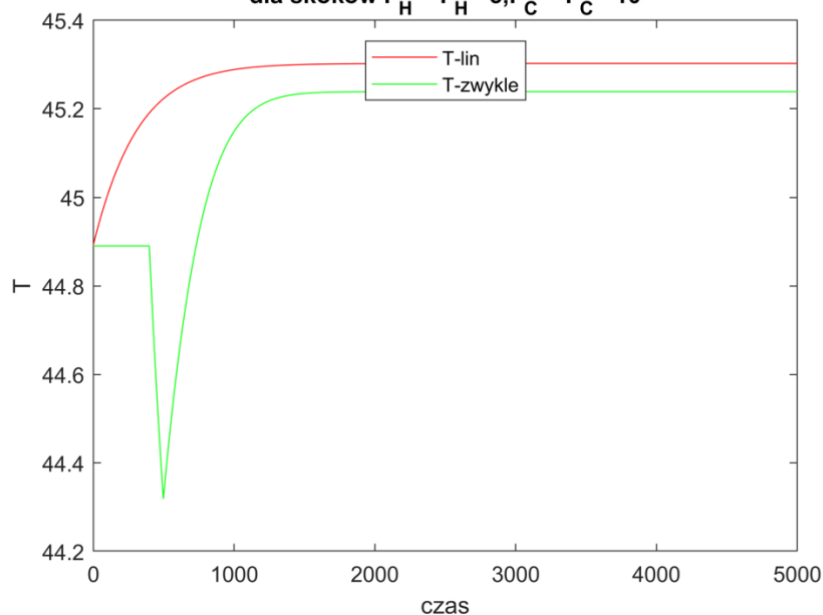


Podpunkt b)

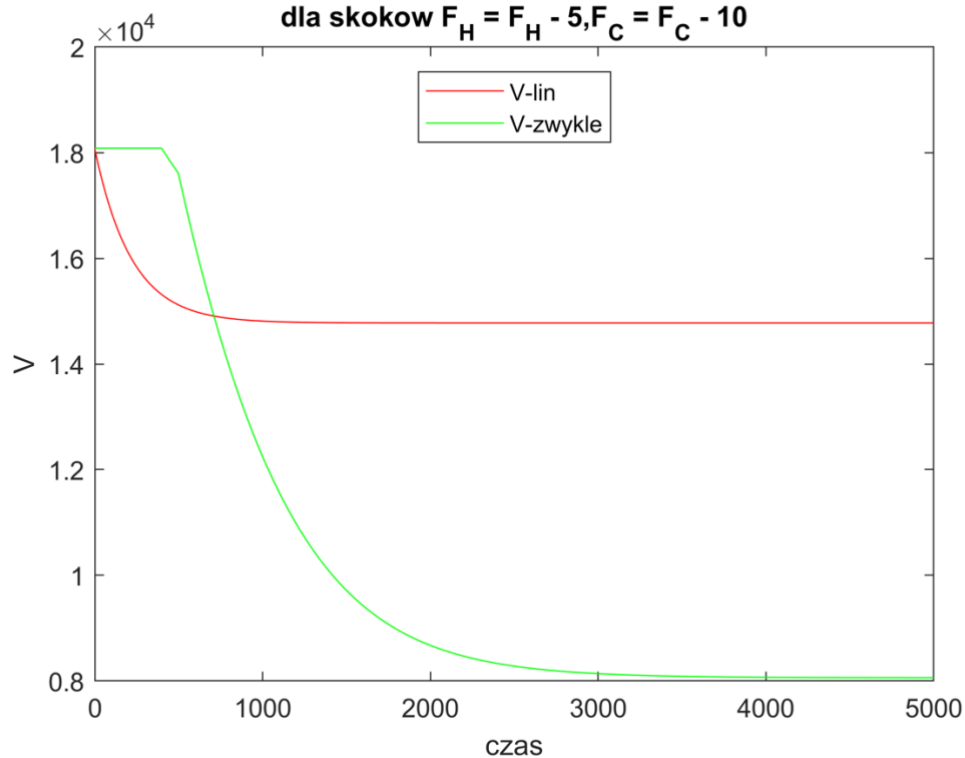
Porównano działanie modeli liniowych z działaniem modelu nieliniowego (odpowiedzi na skoki zmiennych wejściowych o różnych amplitudach i kierunkach, startując z podanego punktu równowagi)

Skok zmiennej wejściowej F_H o -5 i F_C o -10

**Wykres temperatury cieczy w zbiorniku od czasu
dla skoków $F_H = F_H - 5, F_C = F_C - 10$**

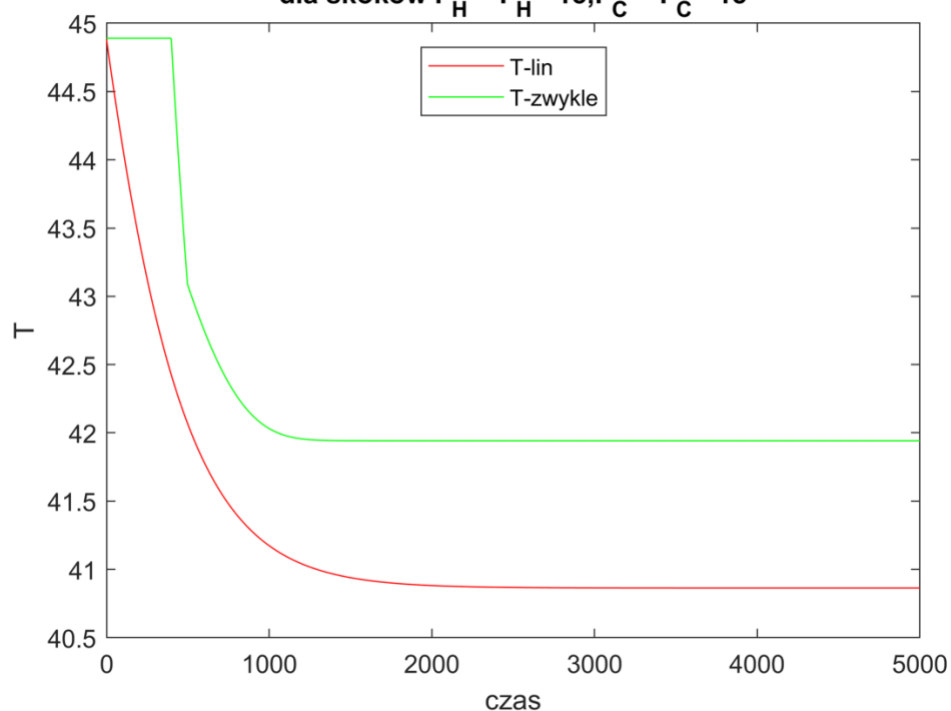


**Wykres objętości cieczy w zbiorniku od czasu
dla skoków $F_H = F_H - 5, F_C = F_C - 10$**

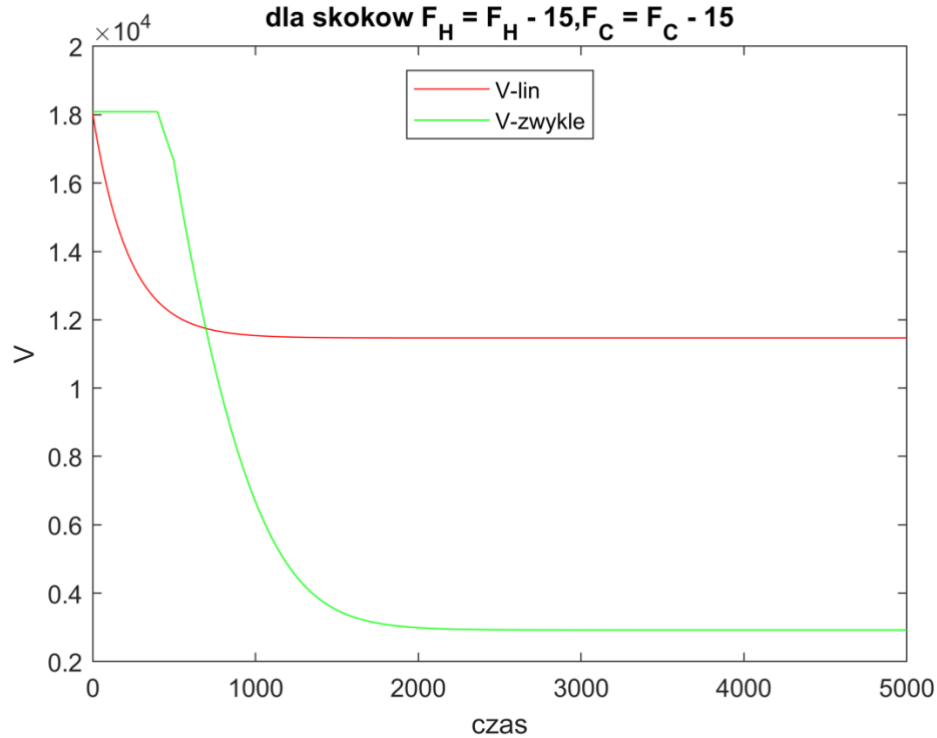


Skok zmiennej wejściowej F_H o -15 i F_C o -15

**Wykres temperatury cieczy w zbiorniku od czasu
dla skoków $F_H = F_H - 15, F_C = F_C - 15$**

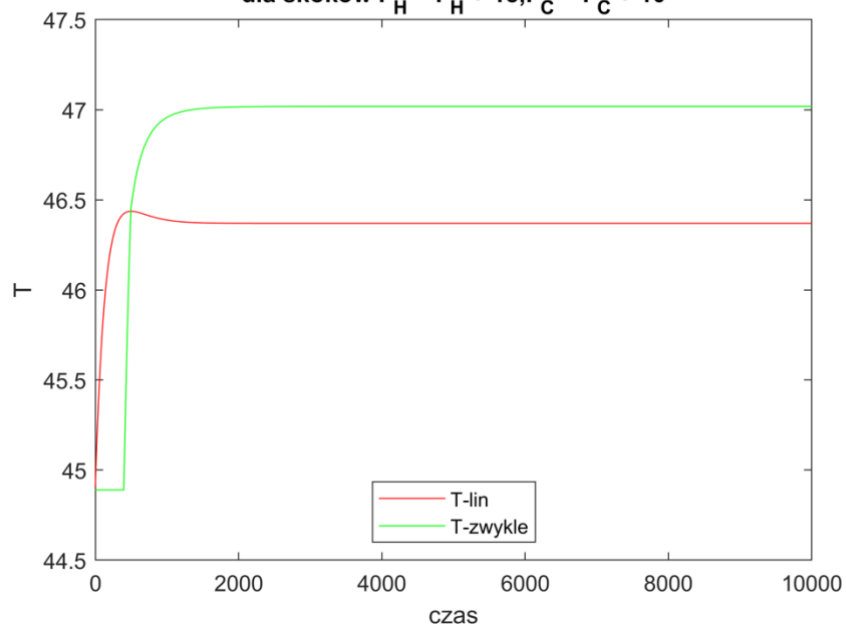


**Wykres objętości cieczy w zbiorniku od czasu
dla skoków $F_H = F_H - 15, F_C = F_C - 15$**

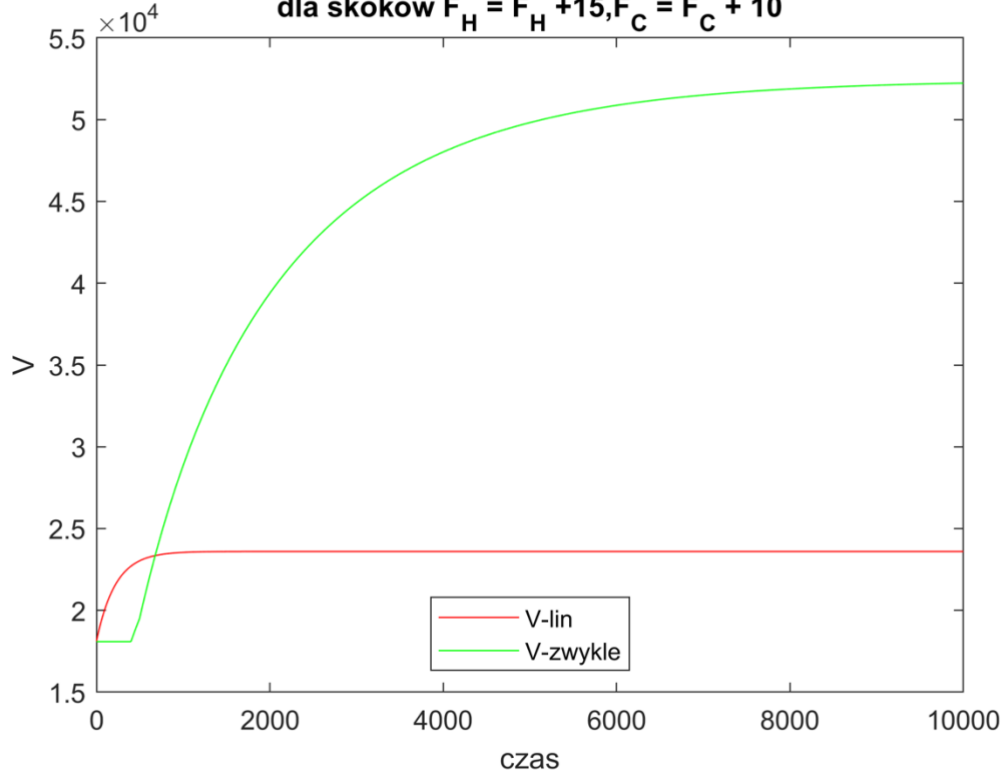


Skok zmiennej wejściowej F_H o 15 i F_C o 10

Wykres temperatury cieczy w zbiorniku od czasu
dla skoków $F_H = F_H + 15, F_C = F_C + 10$

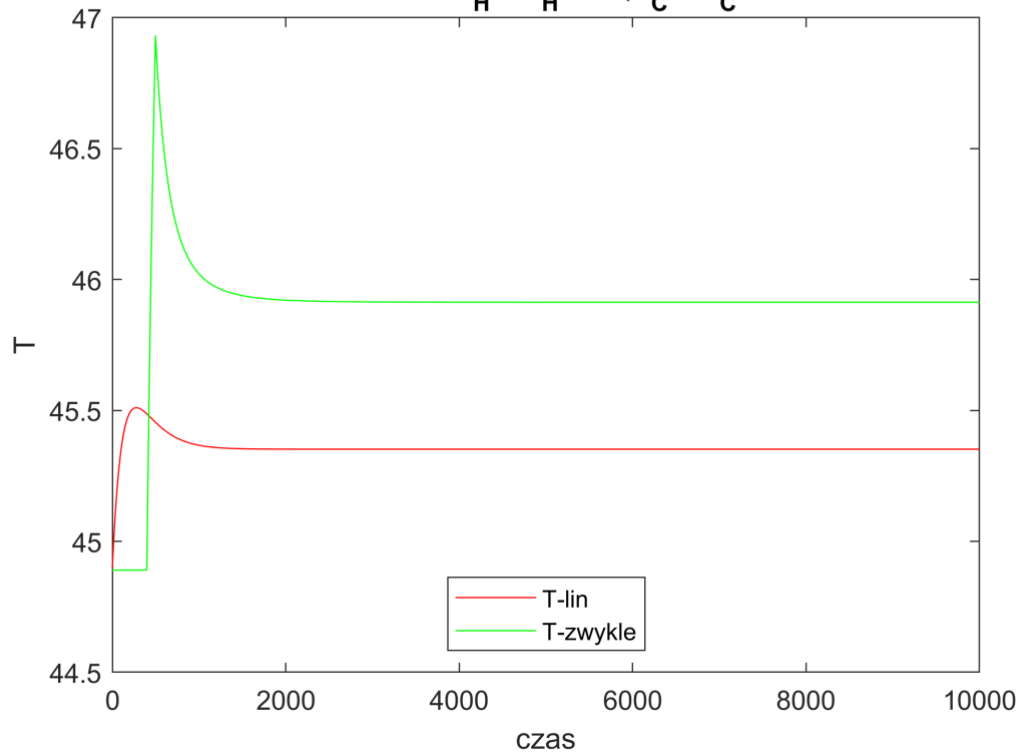


Wykres objętości cieczy w zbiorniku od czasu
dla skoków $F_H = F_H + 15, F_C = F_C + 10$

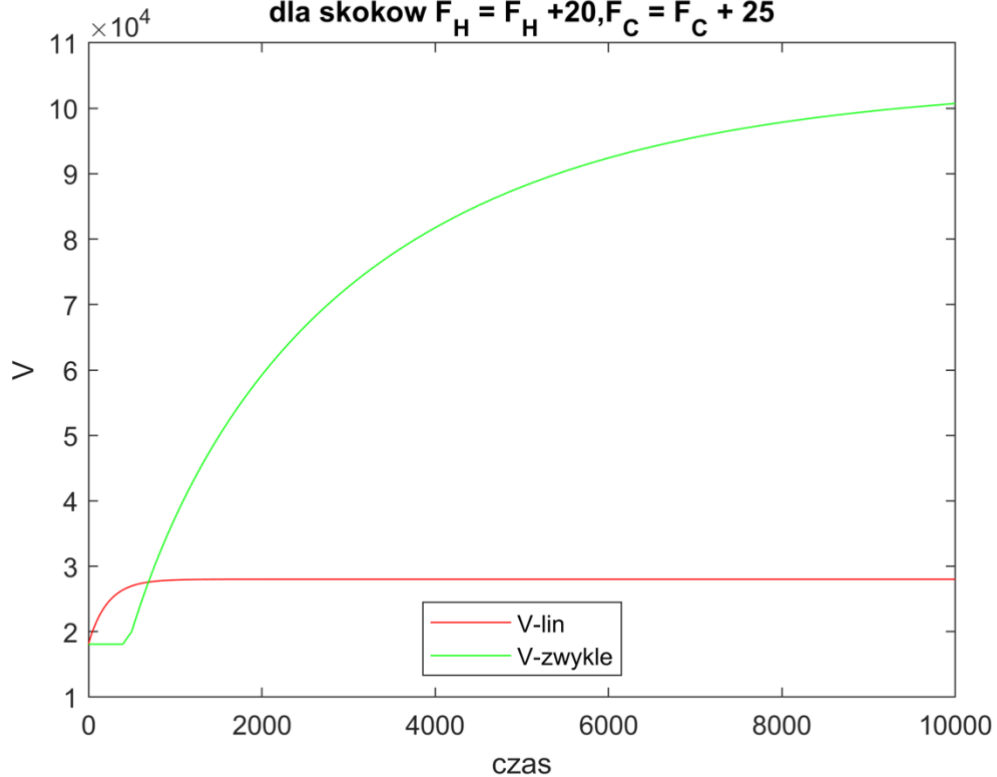


Skok zmiennej wejściowej F_H o 20 i F_C o 25

Wykres temperatury cieczy w zbiorniku od czasu
dla skoków $F_H = F_H + 20, F_C = F_C + 25$

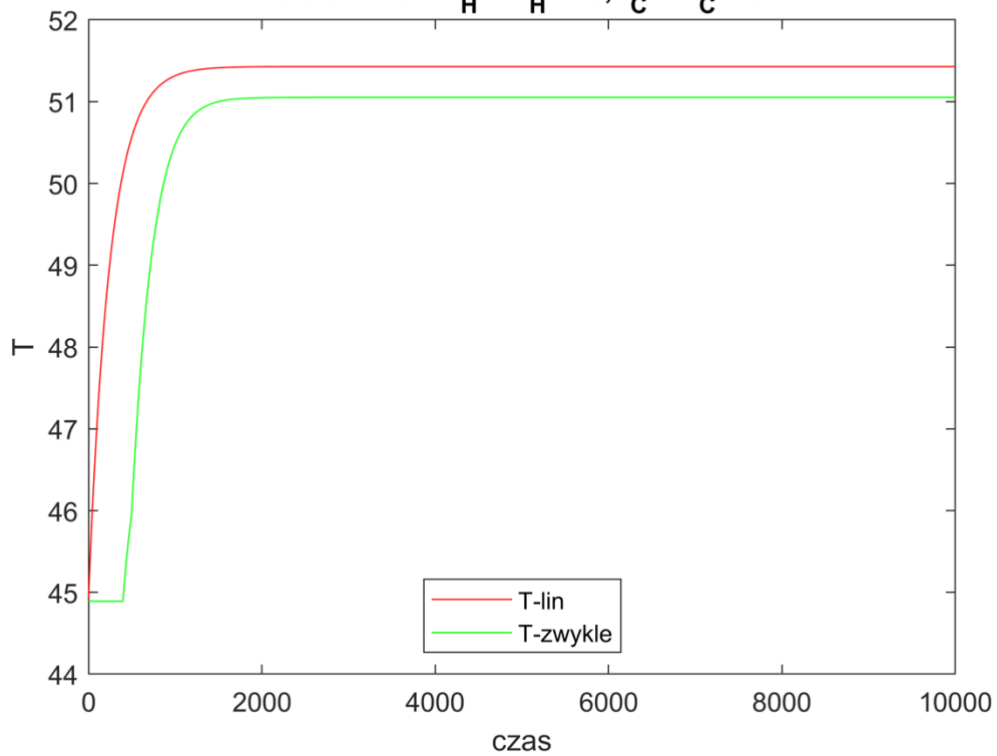


Wykres objętości cieczy w zbiorniku od czasu
dla skoków $F_H = F_H + 20, F_C = F_C + 25$

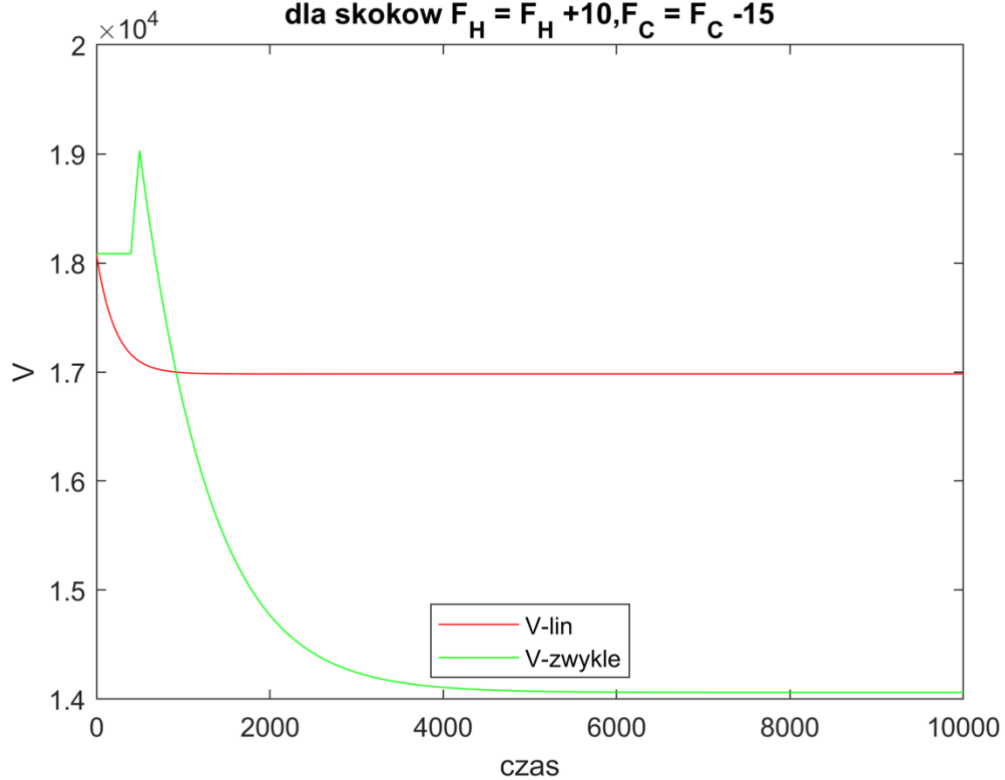


Skok zmiennej wejściowej F_H o 10 i F_C o -15

**Wykres temperatury cieczy w zbiorniku od czasu
dla skoków $F_H = F_H + 10, F_C = F_C - 15$**

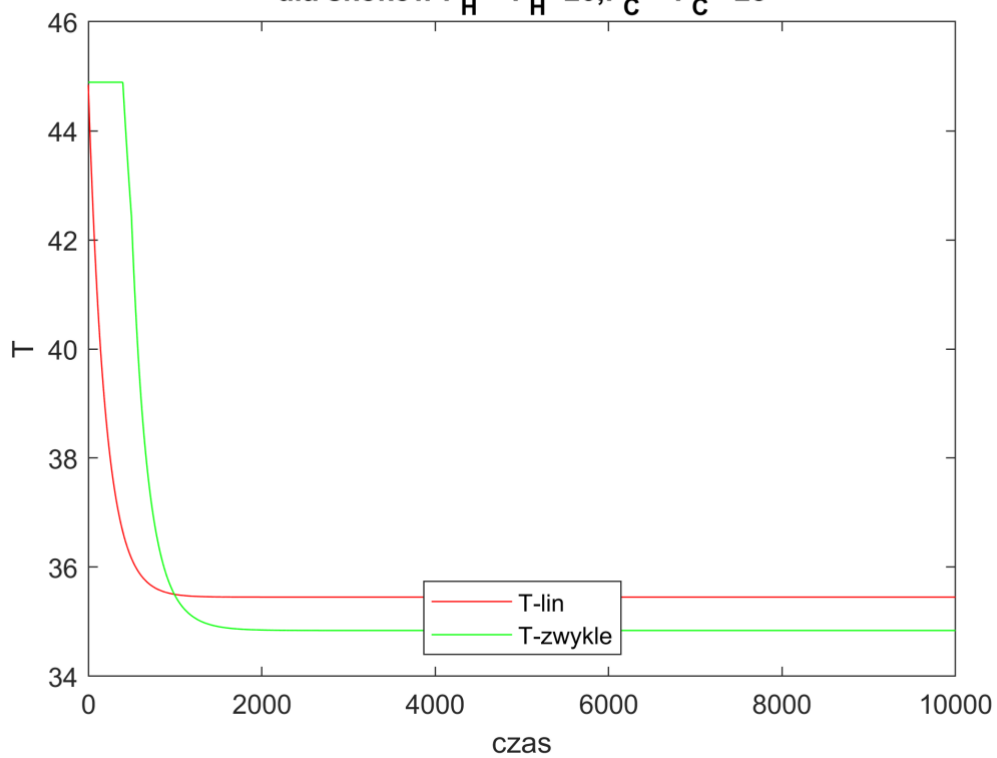


**Wykres objętości cieczy w zbiorniku od czasu
dla skoków $F_H = F_H + 10, F_C = F_C - 15$**

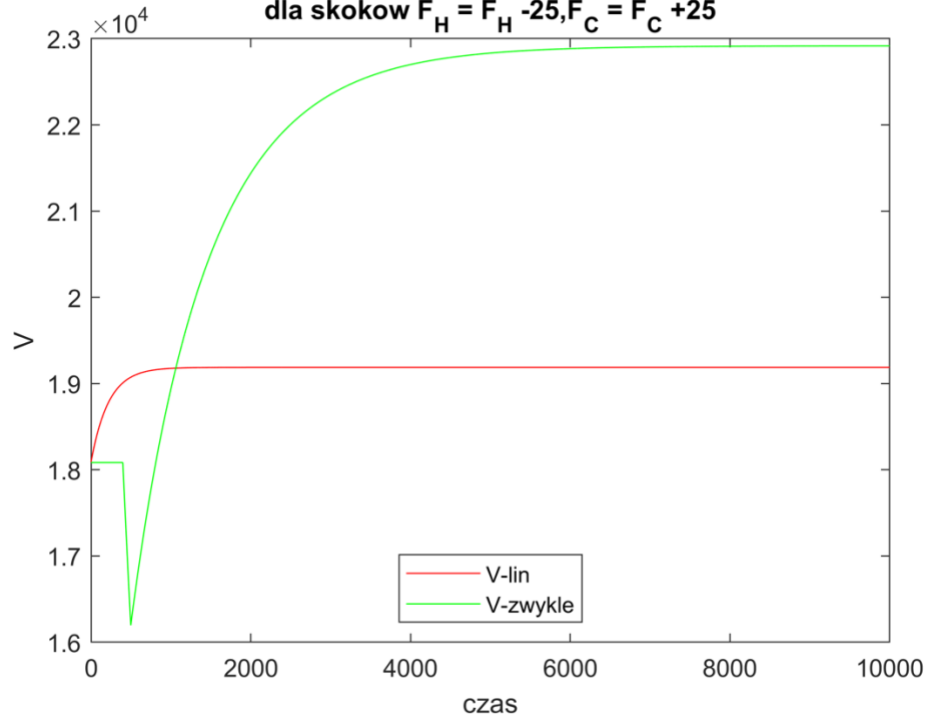


Skok zmiennej wejściowej F_H o -20 i F_C o 25

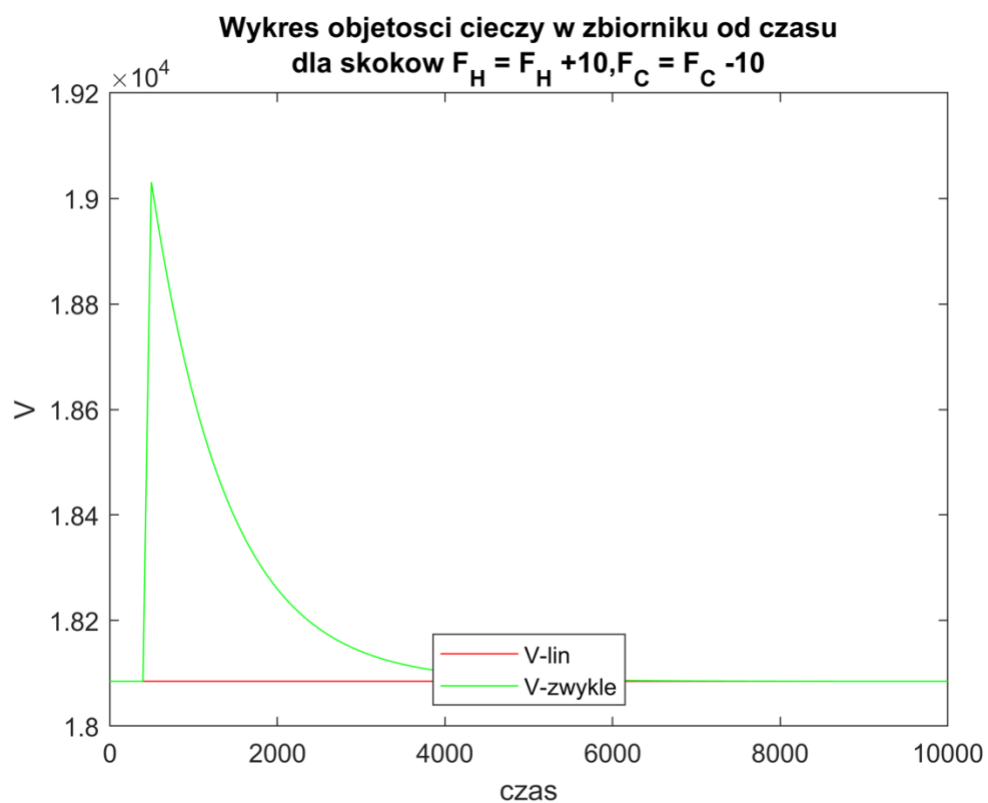
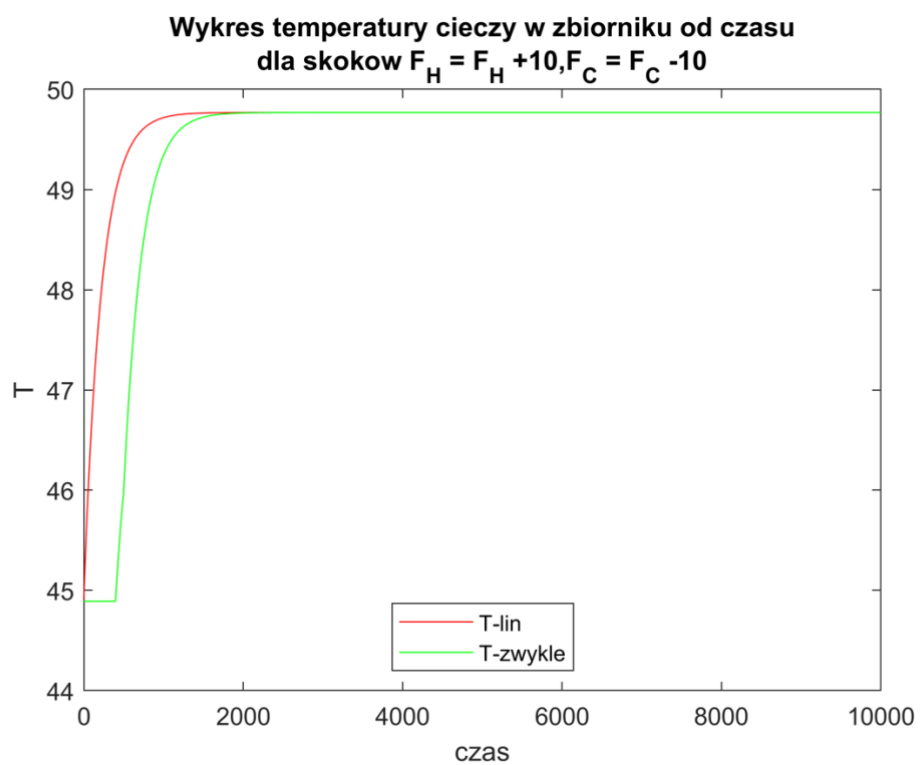
**Wykres temperatury cieczy w zbiorniku od czasu
dla skoków $F_H = F_H - 20, F_C = F_C + 25$**



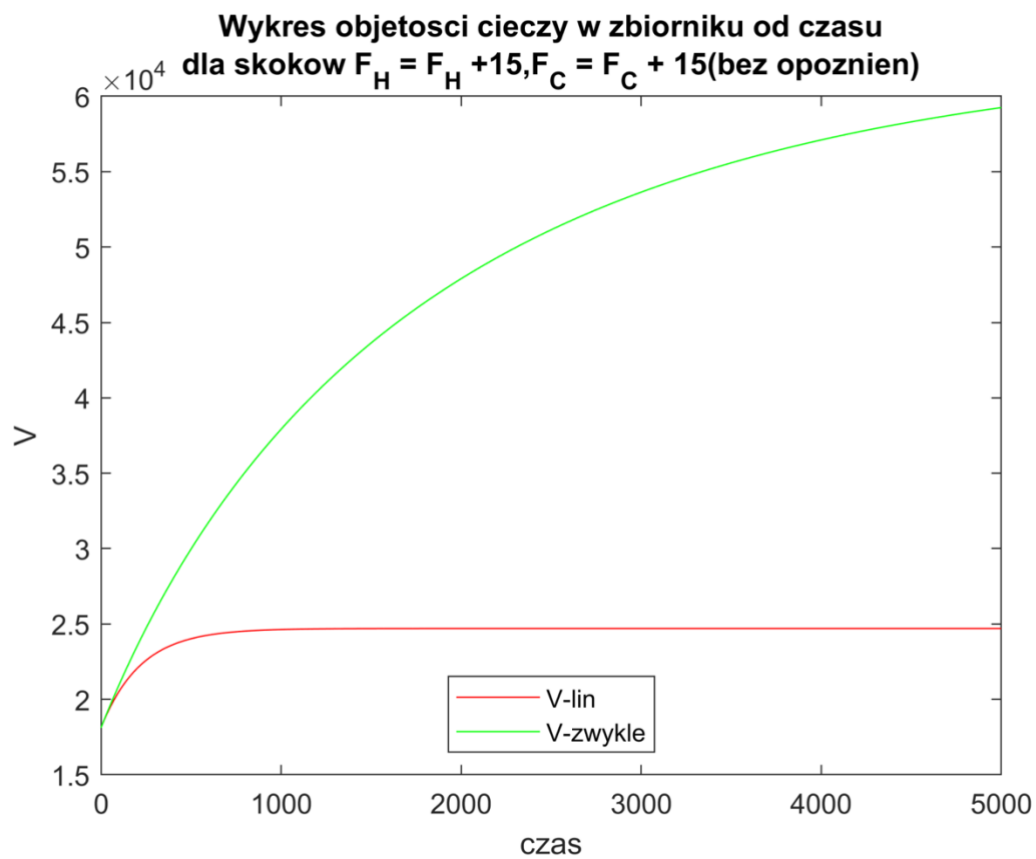
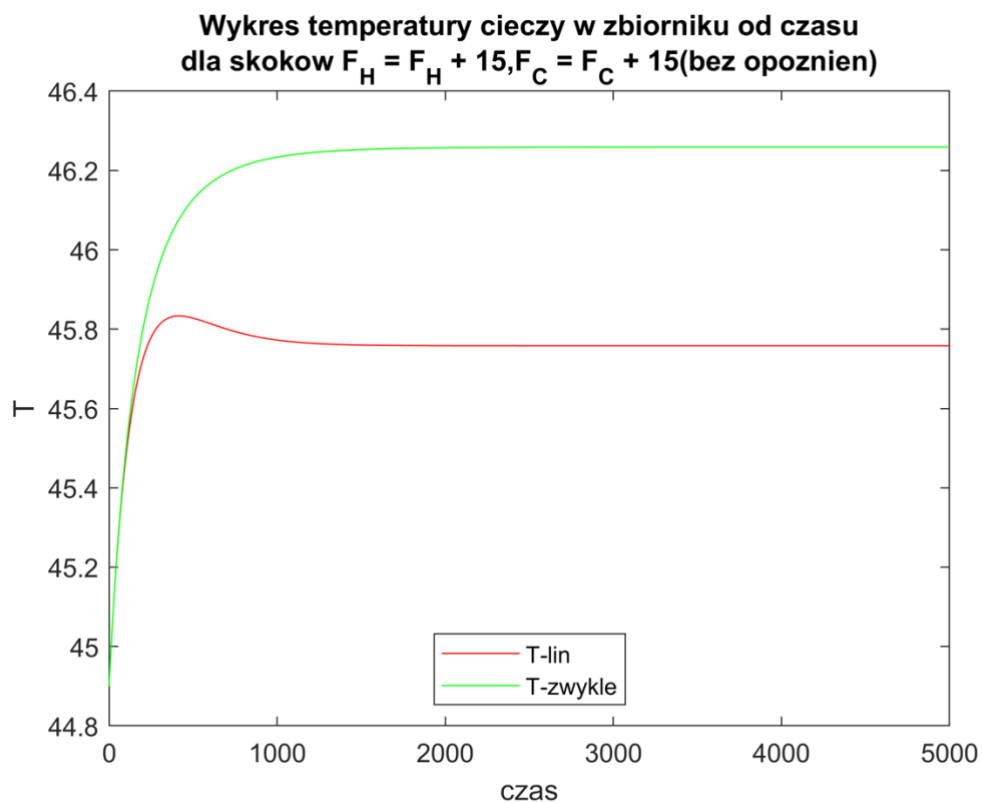
**Wykres objętości cieczy w zbiorniku od czasu
dla skoków $F_H = F_H - 25, F_C = F_C + 25$**



Skok zmiennej wejściowej F_H o 10 i F_C o -10



Skok zmiennej wejściowej F_H o 15 i F_C o 15 - obiekt bez opóźnień



SKOKOWE ZWIĘKSZENIE WARTOŚCI ZADANEJ

Wartość zadana: T

W przypadku małego zwiększenia (+25) można zauważyć, że w przypadku modelu zlinearyzowanego nastąpiło lekkie przeregulowanie nim sygnał osiągnął wartość ustaloną, co nie miało miejsca w sygnale oryginalnym.

W przypadku dużego zwiększenia (+45) można zauważyć, że w przypadku modelu zlinearyzowanego również nastąpiło lekkie przeregulowanie nim sygnał osiągnął wartość ustaloną, lecz w sygnale oryginalnym nastąpił gwałtowny pik.

Podobieństwa:

- W obydwóch przypadkach podobnie obniżona temperatura ustalona (pomiędzy 1, a 1,5 stopnia)
- w podobnym czasie temperatura się ustala
- podobne lekkie przeregulowanie temperatury zlinearyzowanej

Różnice:

- ostry pik temperatury w dużym zwiększeniu, brak przeregulowania w małym zwiększeniu
- w dużym zwiększeniu wyższa temperatura o ok. 1 stopień

Wartość zadana: V

W przypadku małego i dużego zwiększenia można zauważyć, że w przypadku modelu zlinearyzowanego nastąpiło o wiele szybsze osiągnięcie stanu ustalonego niż w przypadku modelu oryginalnego, jednak jego wartości były znacznie mniejsze.

Podobieństwa:

- szybkie osiągnięcie wartości ustalonej w modelu zlinearyzowanym, a o wiele wolniejsze w modelu oryginalnym
- znaczna mniejsza wartość modelu zlinearyzowanego w porównaniu z oryginalnym

Różnice:

- Prawie 1,3 razy większa wartość ustalona w modelu zlinearyzowanym dużego zwiększenia w porównaniu z małym, a prawie 2 razy większa wartość ustalona w modelu oryginalnym dużego zwiększenia w porównaniu z małym

SKOKOWE ZMNIEJSZENIE WARTOŚCI ZADANEJ

Wartość zadana: T

W przypadku małego zmniejszenia (-15) można zauważyć, że w przypadku modelu zlinearyzowanego nastąpiło szybsze osiągnięcie wartości ustalonej bez żadnego przeregulowania/piku, co miało miejsca w sygnale oryginalnym, któremu dodatkowo potrzebny był dłuższy czas na osiągnięcie wartości ustalonej.

W przypadku dużego zmniejszenia (-30) można zauważyć, że w przypadku modelu zlinearyzowanego nastąpiło trochę wolniejsze osiągnięcie wartości ustalonej niż w przypadku modelu oryginalnego. Nie miały miejsca żadne przeregulowania/piku w obu przypadkach

Różnice:

- W lekkim zmniejszeniu temperatura rosla, w przeciwieństwie do drugim (ma to związek z tym, że bardziej ucięto dopływ zimnej wody niż ciepłej)
- w lekkim zmniejszeniu temperatura zlinearyzowana była wyższa niż oryginalna, odwrotnie niż w większym zmniejszeniu

Wartość zadana: V

Przebieg dynamiki dla małego i dużego zmniejszenia wymuszenia ma podobny charakter, różni się głównie jednak amplitudą zmiany. Dla dużego zmniejszenia amplituda ta była większa.

Podobieństwa:

- W obydwóch przypadkach objętość malała dla modelu zlinearyzowanego i oryginalnego
- W obydwóch przypadkach objętość w modelu zlinearyzowanym potrzebowała podobny czas na osiągnięcie stanu ustalonego

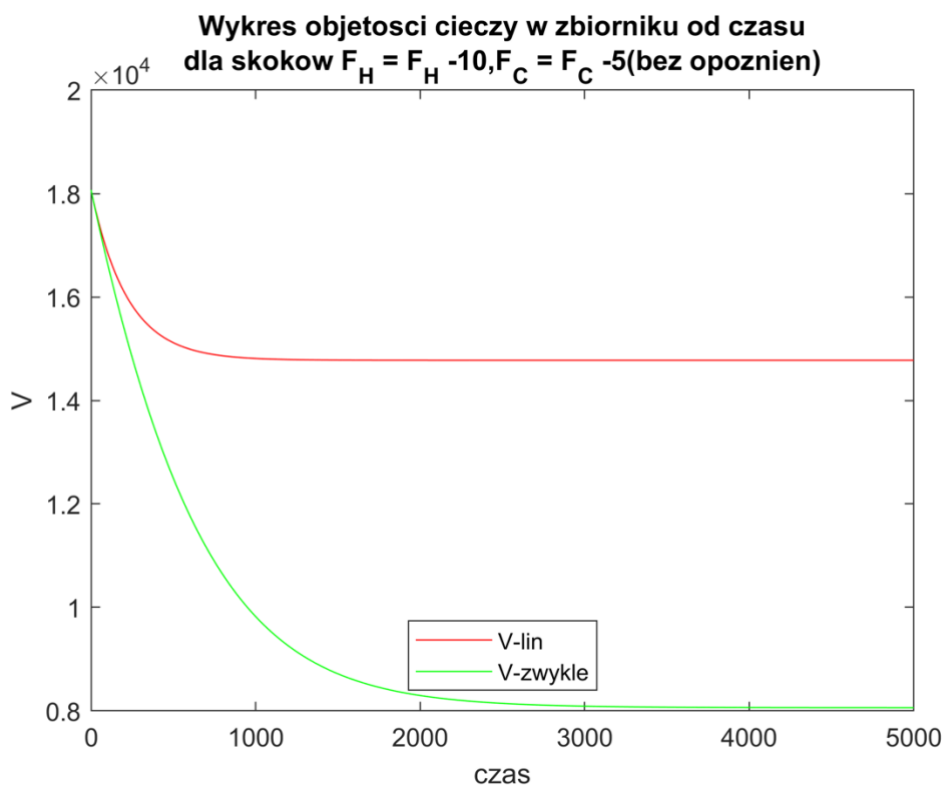
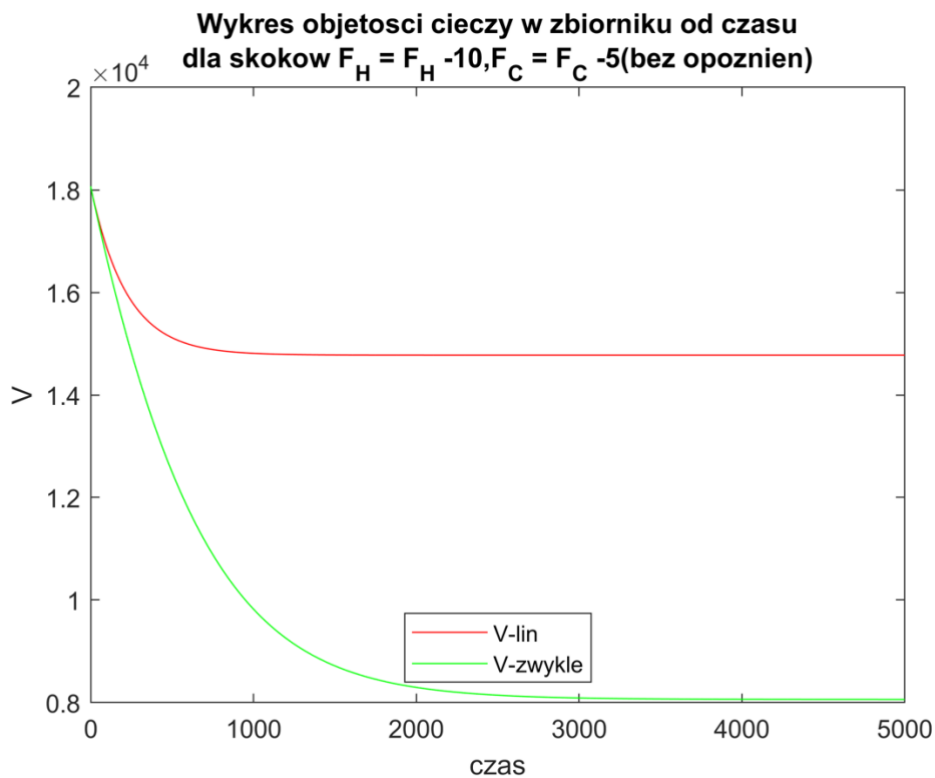
Różnice:

- W przypadku dużego zmniejszenia model oryginalny szybciej osiągnął stan ustalony
- W przypadku dużego zmniejszenia temperatura ustalona była mniejsza

Podpunkt c)

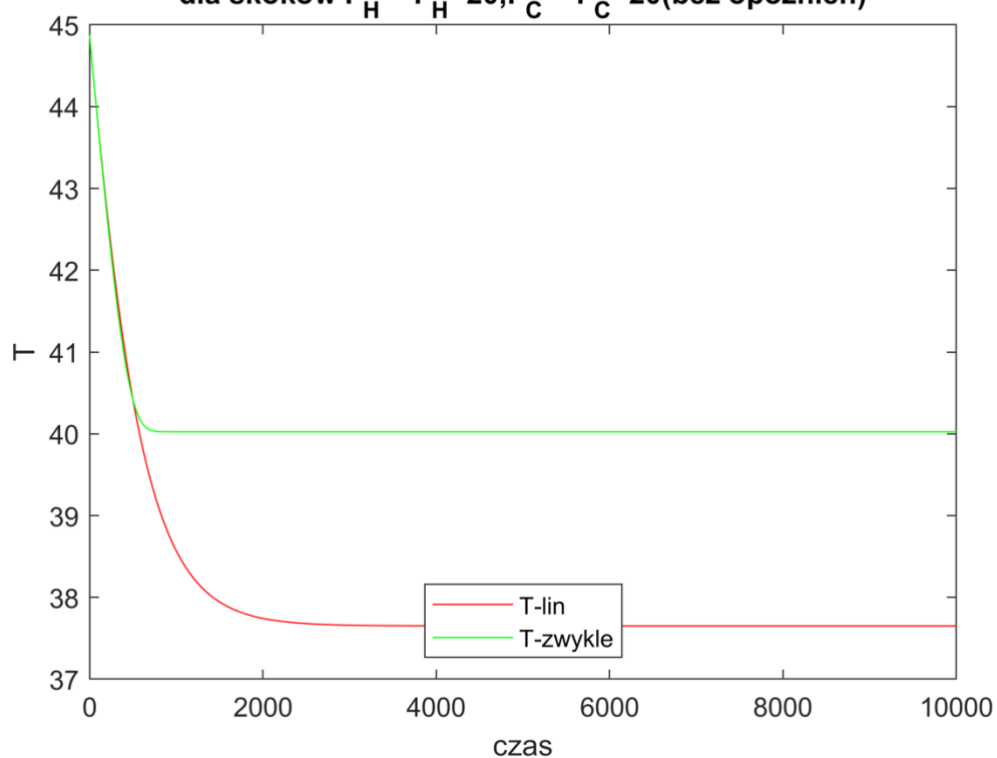
Przeprowadzono dyskusję na temat jakości przybliżenia liniowego, w zależności od wielkości zmian sygnałów wejściowych.

Skok zmiennej wejściowej F_H o -10 i F_C o -5 - obiekt bez opóźnień

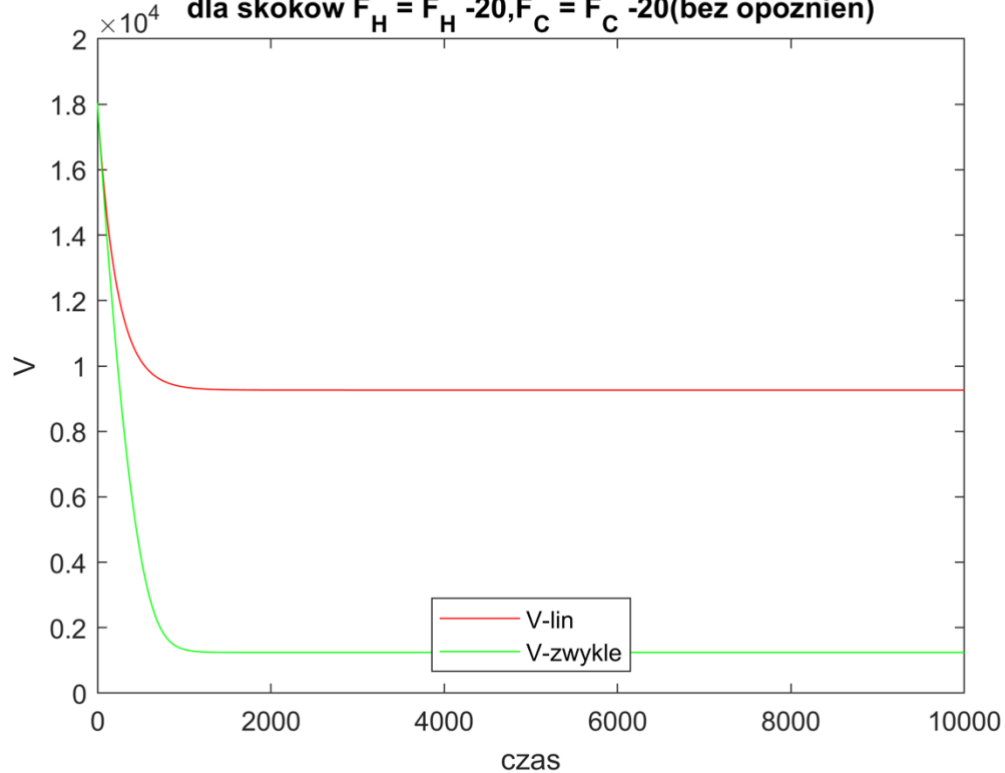


Skok zmiennej wejściowej F_H o -20 i F_C o -20 - obiekt bez opóźnień

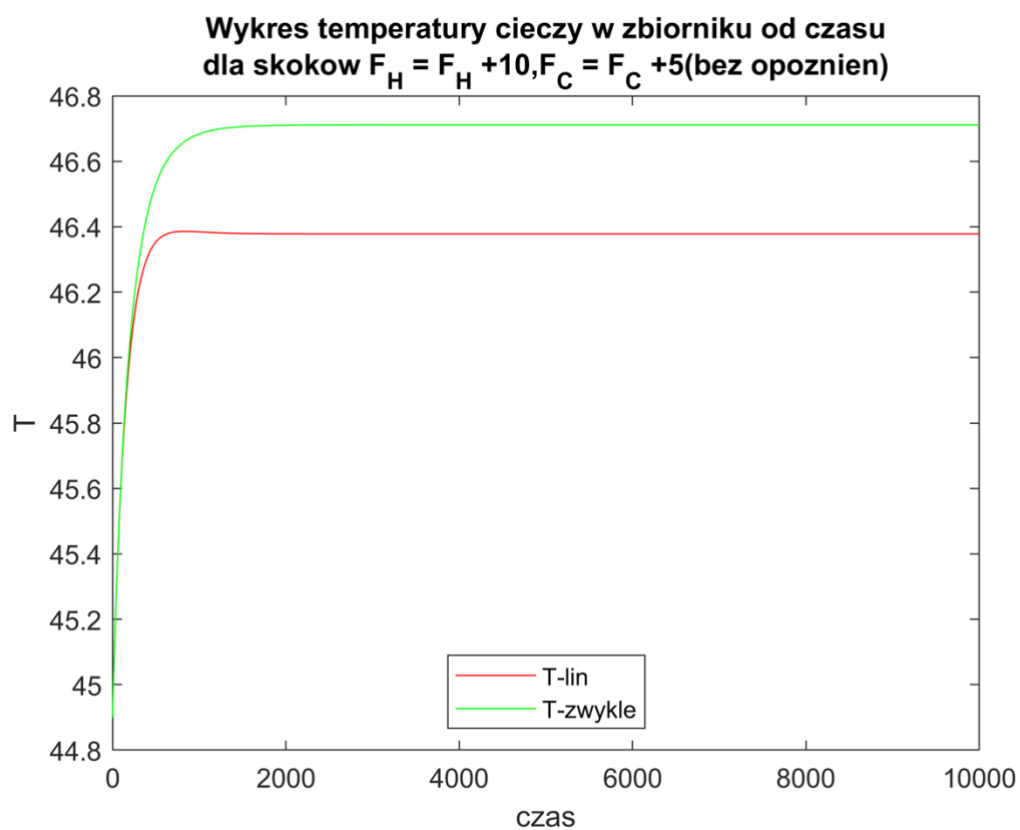
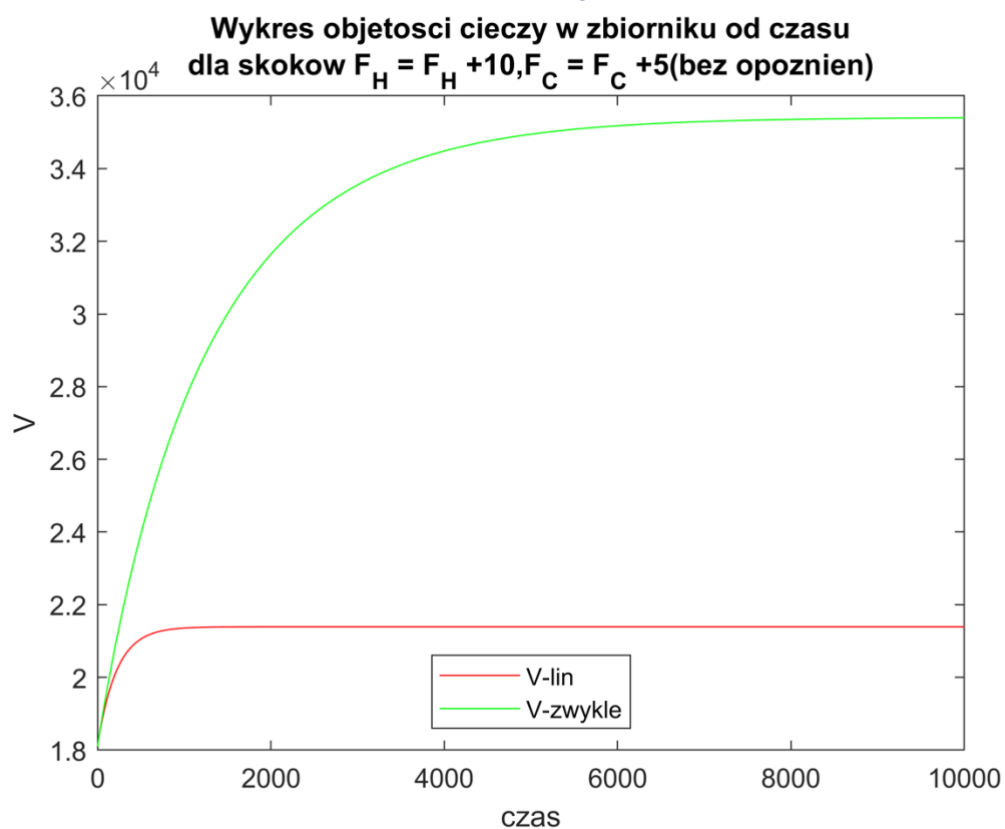
**Wykres temperatury cieczy w zbiorniku od czasu
dla skoków $F_H = F_H - 20, F_C = F_C - 20$ (bez opóźnień)**



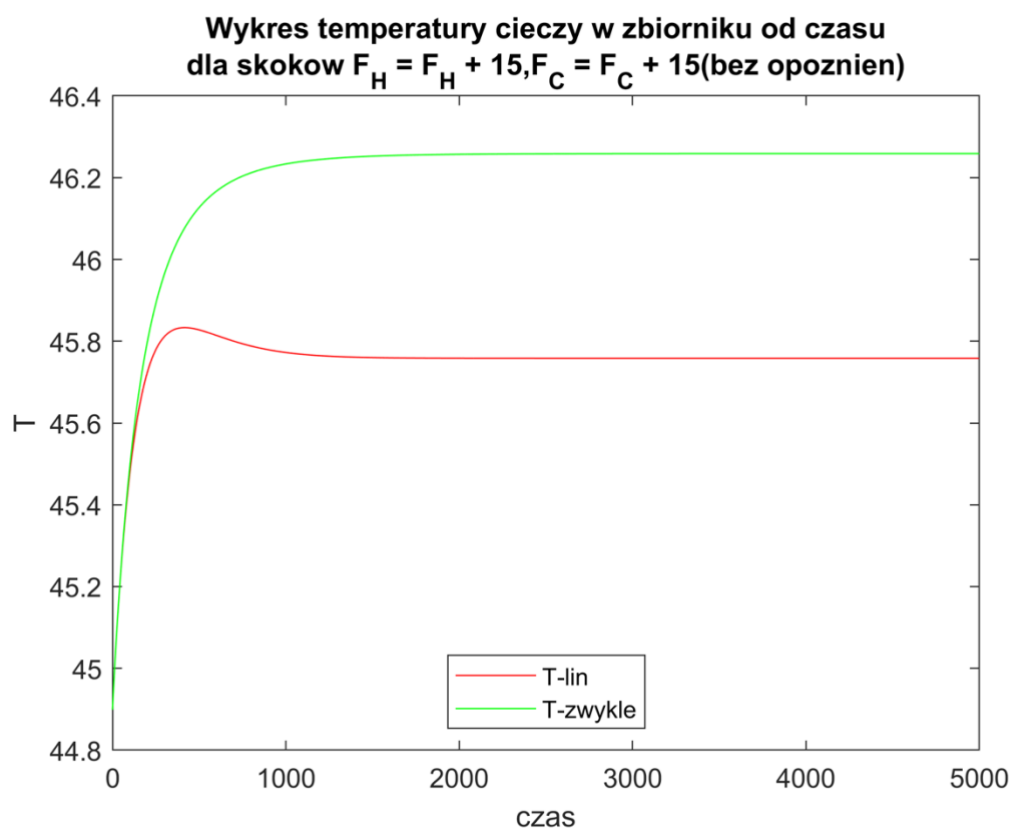
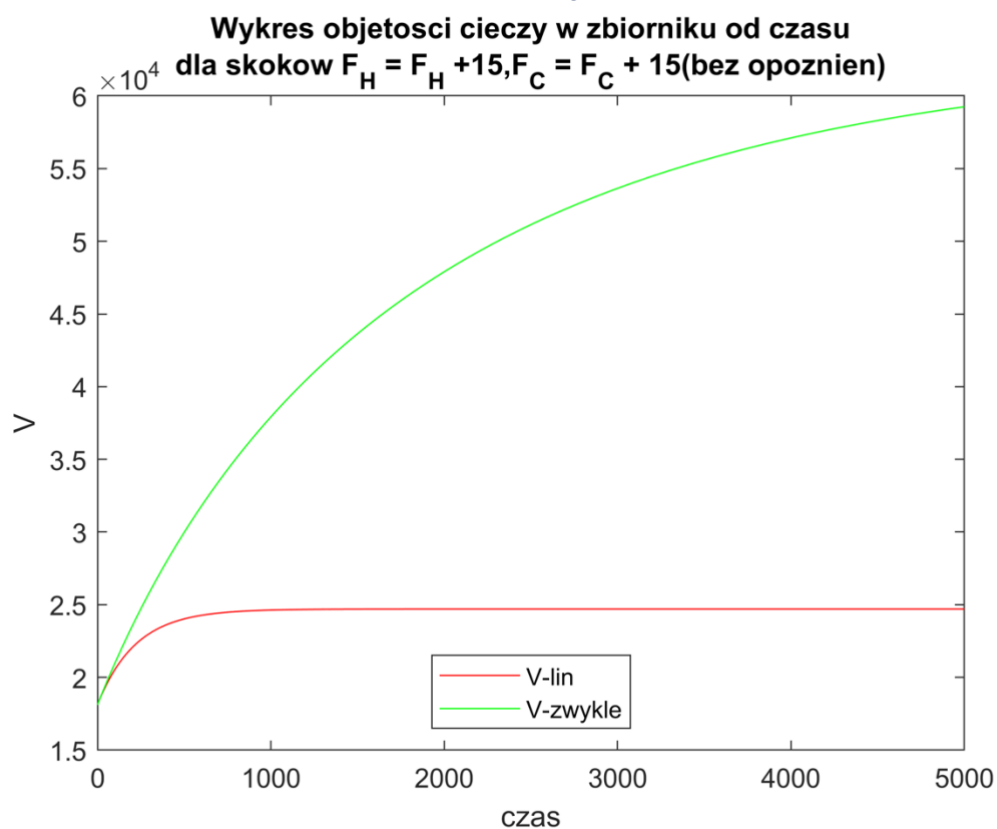
**Wykres objętości cieczy w zbiorniku od czasu
dla skoków $F_H = F_H - 20, F_C = F_C - 20$ (bez opóźnień)**



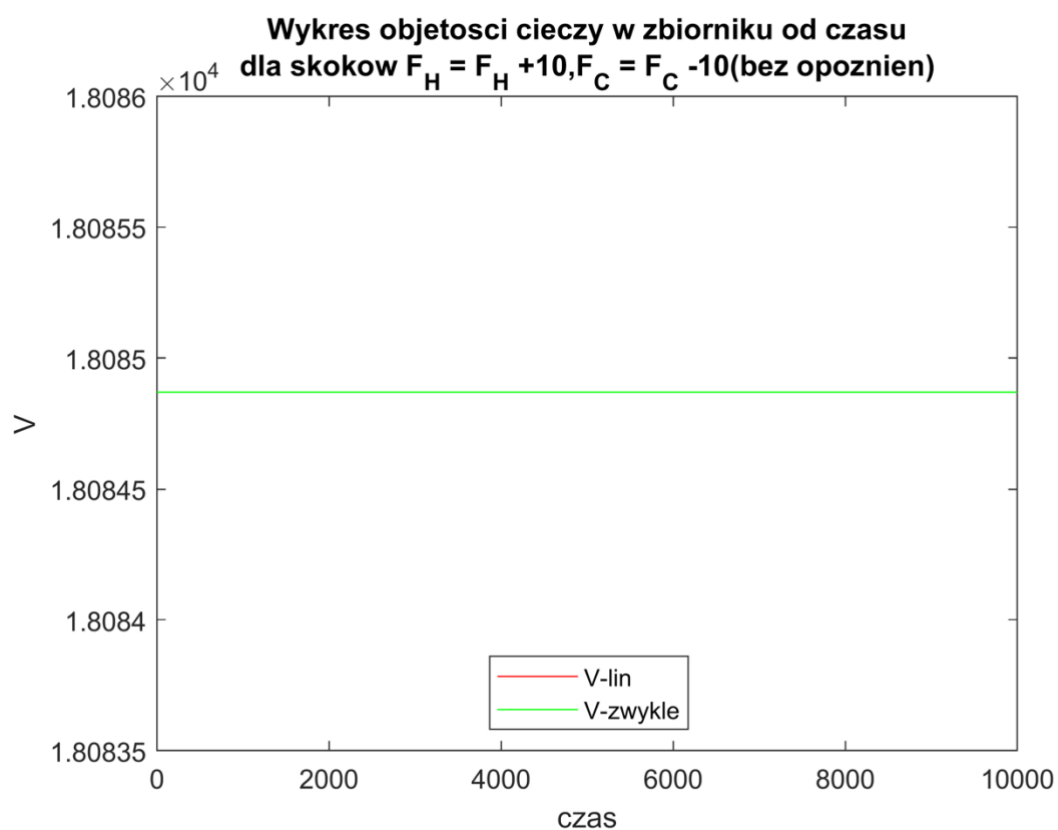
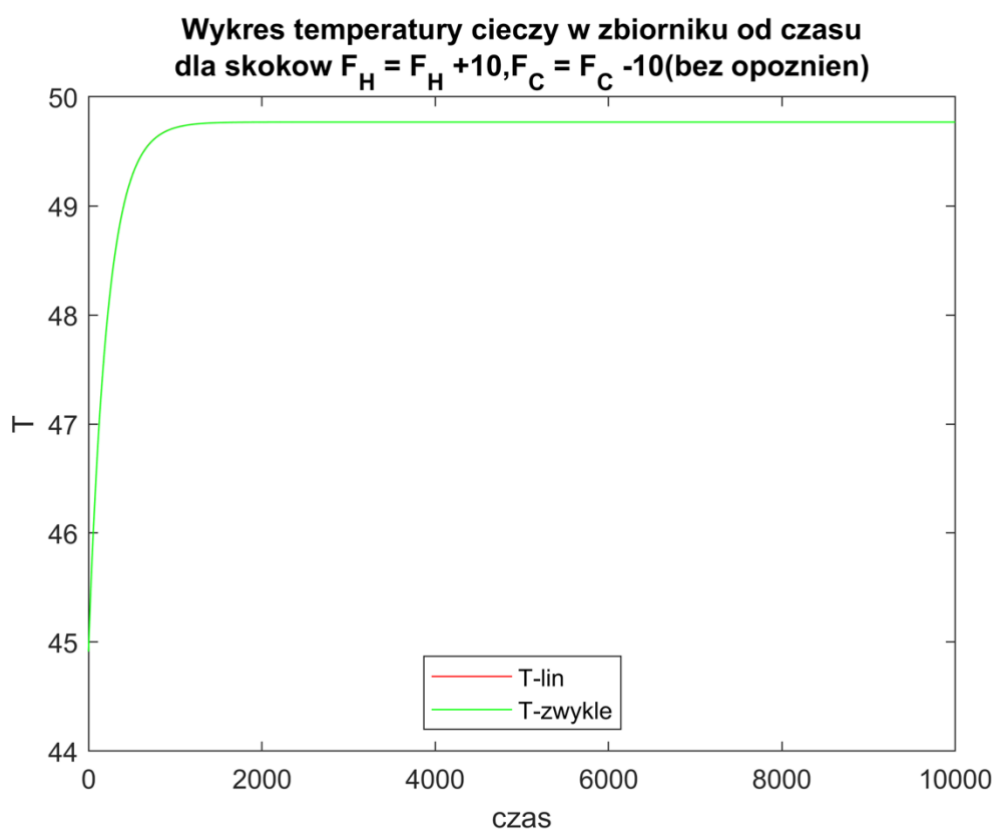
Skok zmiennej wejściowej F_H o 10 i F_C o 5 - obiekt bez opóźnień



Skok zmiennej wejściowej F_H o 15 i F_C o 15 - obiekt bez opóźnień

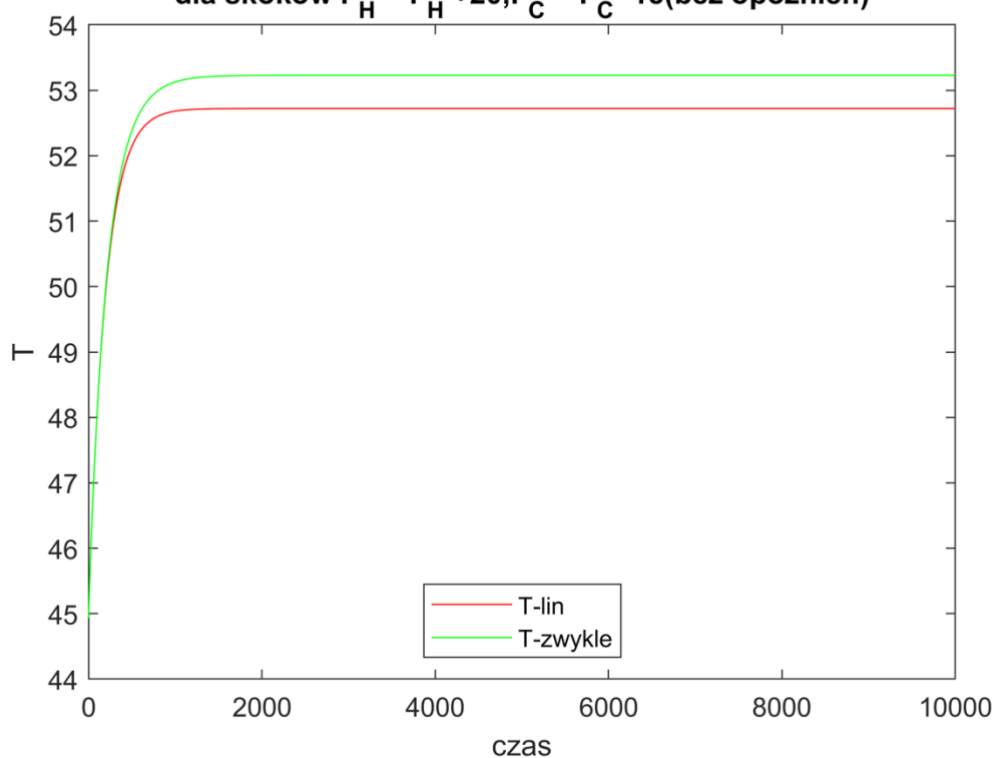


Skok zmiennej wejściowej F_H o 10 i F_C o -10 - obiekt bez opóźnień

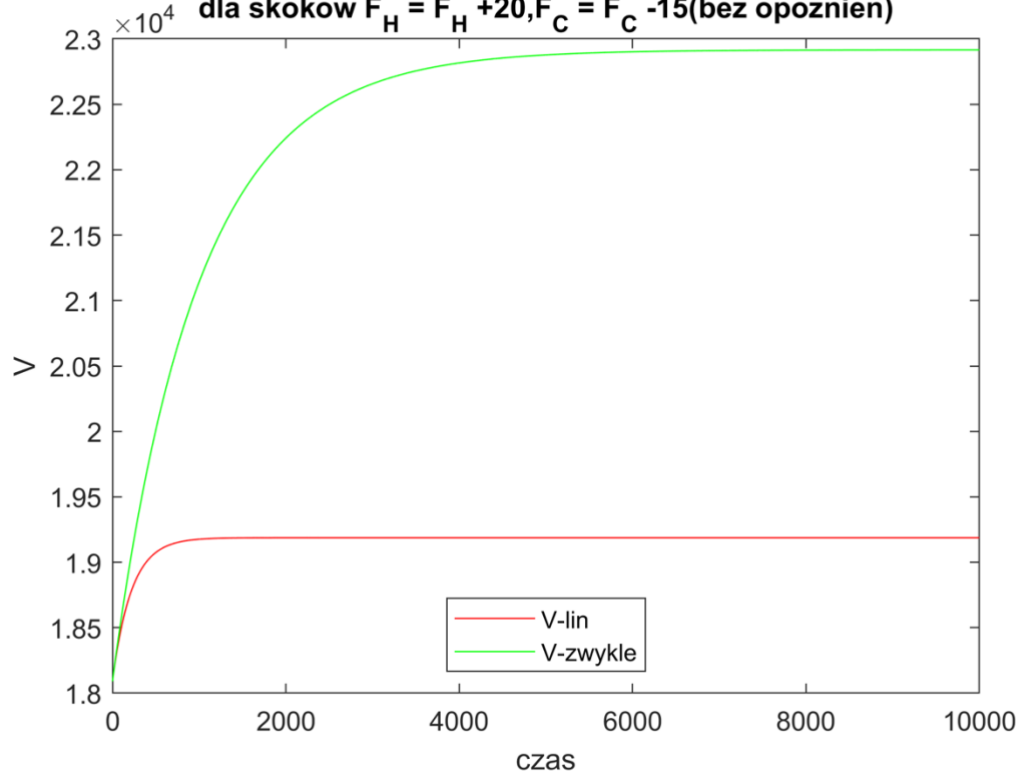


Skok zmiennej wejściowej F_H o 20 i F_C o -15 - obiekt bez opóźnień

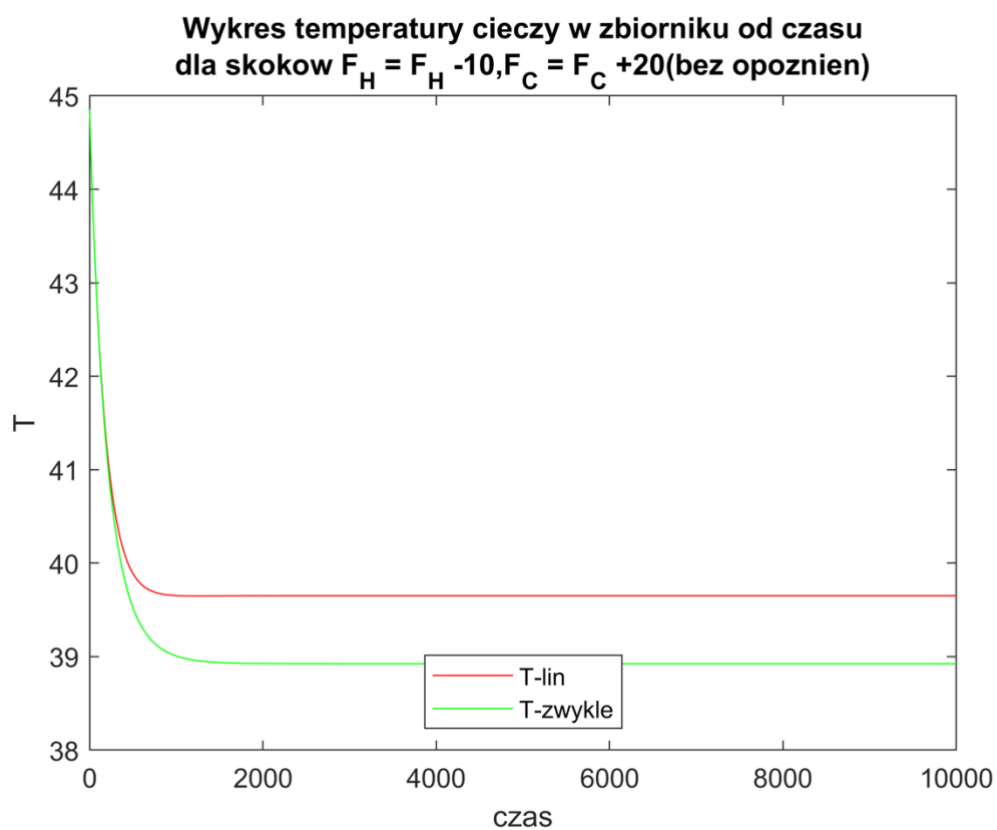
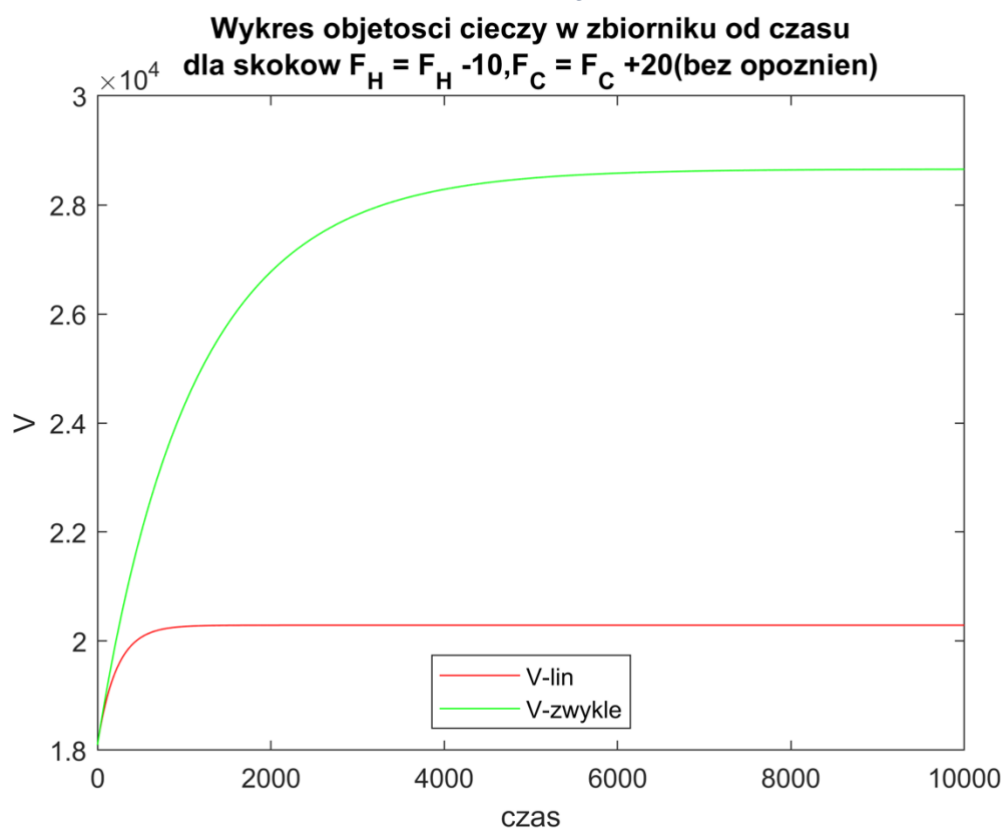
**Wykres temperatury cieczy w zbiorniku od czasu
dla skoków $F_H = F_H + 20, F_C = F_C - 15$ (bez opóźnień)**



**Wykres objętości cieczy w zbiorniku od czasu
dla skoków $F_H = F_H + 20, F_C = F_C - 15$ (bez opóźnień)**



Skok zmiennej wejściowej F_H o -10 i F_C o 20 - obiekt bez opóźnień



Dyskusja

Podczas dyskusji i analizy wyników zostały sformułowane następujące wnioski na temat wpływu wielkości wymuszenia na jakość przybliżenia:

Im większe wymuszenie tym gorsza jakość przybliżenia, większe wymuszenie stanowi o większej różnicy pomiędzy moment stabilizacji obiektu liniowego i nieliniowego, szczególnie w przypadku objętości. Przy obiekcie z opóźnieniami, obiekt przy większym wymuszeniu znacznie wolniej się ustala. Opóźnienie powoduje, że przebiegi obiektu liniowego i nieliniowego od siebie odbiegają, w obiekcie nieliniowym są dużo większe wahania, przykładowo temperatura może czasami rosnąć lub maleć.

Podpunkt d)

Opracowano modele liniowe, dyskretne (w postaci równań stanu i transmitancji). Sprawdzano na bieżąco jakość dyskretyzacji operując parametrem kroku dyskretyzacji T_s . Tworzymy model dyskretny zgodnie z modelem ciągłym:

Gdzie:

$$A = \begin{bmatrix} -\frac{\alpha}{4} * \left(\frac{V_0}{C}\right)^{-\frac{3}{4}} & 0 \\ -\left(\frac{F_H * (T_H - T_0) + F_C * (T_C - T_0) + F_D * (T_D - T_0)}{V_0^2}\right) & -\left(\frac{F_H + F_C + F_D}{V_0}\right) \end{bmatrix}$$
$$B = \begin{bmatrix} \frac{1}{T_H - T_0} & \frac{1}{T_C - T_0} \end{bmatrix} \quad C = \begin{bmatrix} \frac{1}{2} \sqrt{\frac{1}{C * V_0}} & 0 \\ 0 & 1 \end{bmatrix} \quad D = 0$$

Wykorzystano wbudowaną funkcję `c2d` programu MATLAB do uzyskania transmitancji dyskretnej, gdzie funkcja ta przyjmuje następujące argumenty:

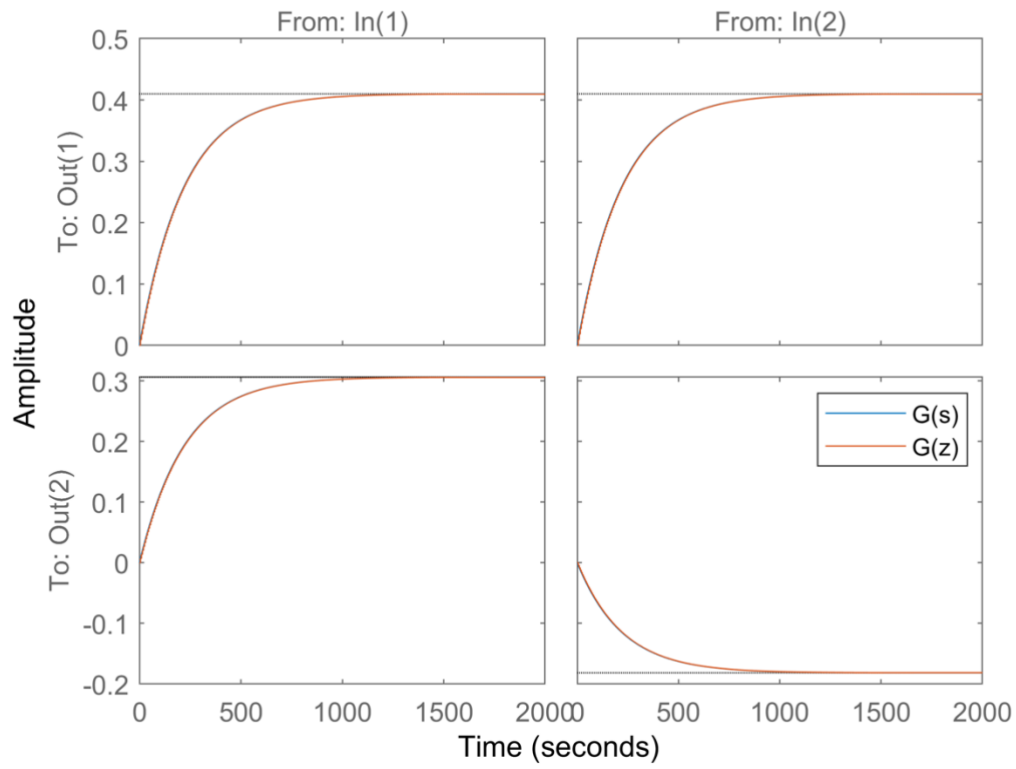
$$\text{c2d}(\text{sys}, T_s, 'zoh')$$

`sys` – ciągły model dynamicznego systemu

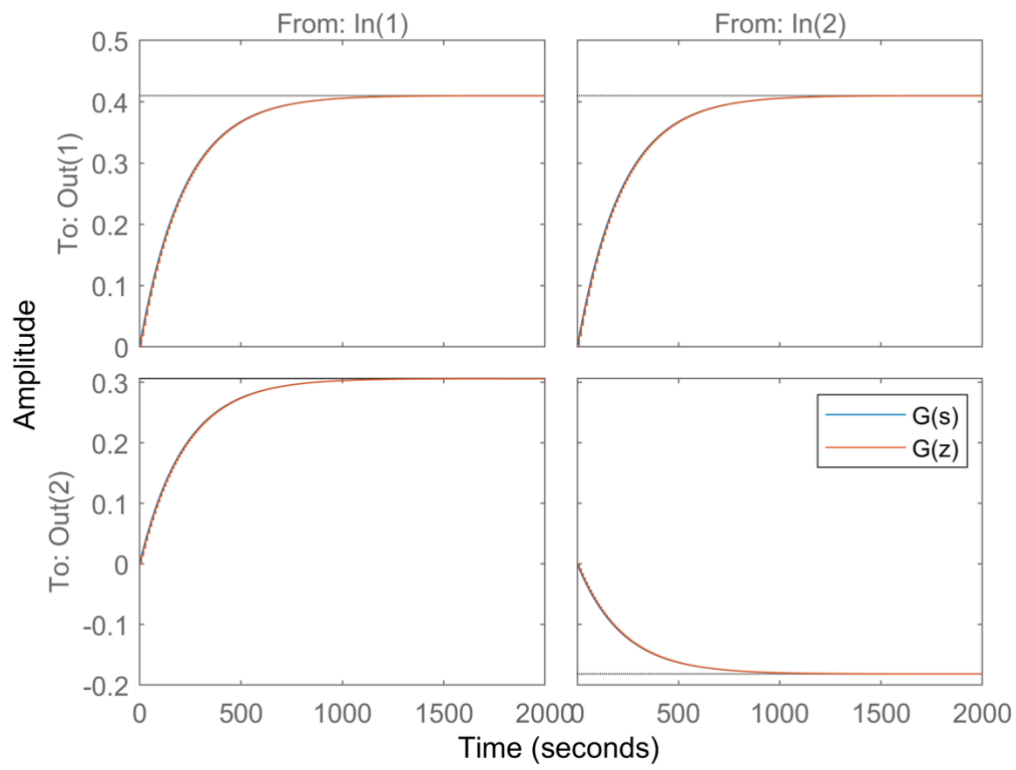
`Ts` – czas próbkowania, czyli parametr, którym regulujemy jakością dyskretyzacji

`'zoh'` – metoda dyskretyzacji (zero order hold)

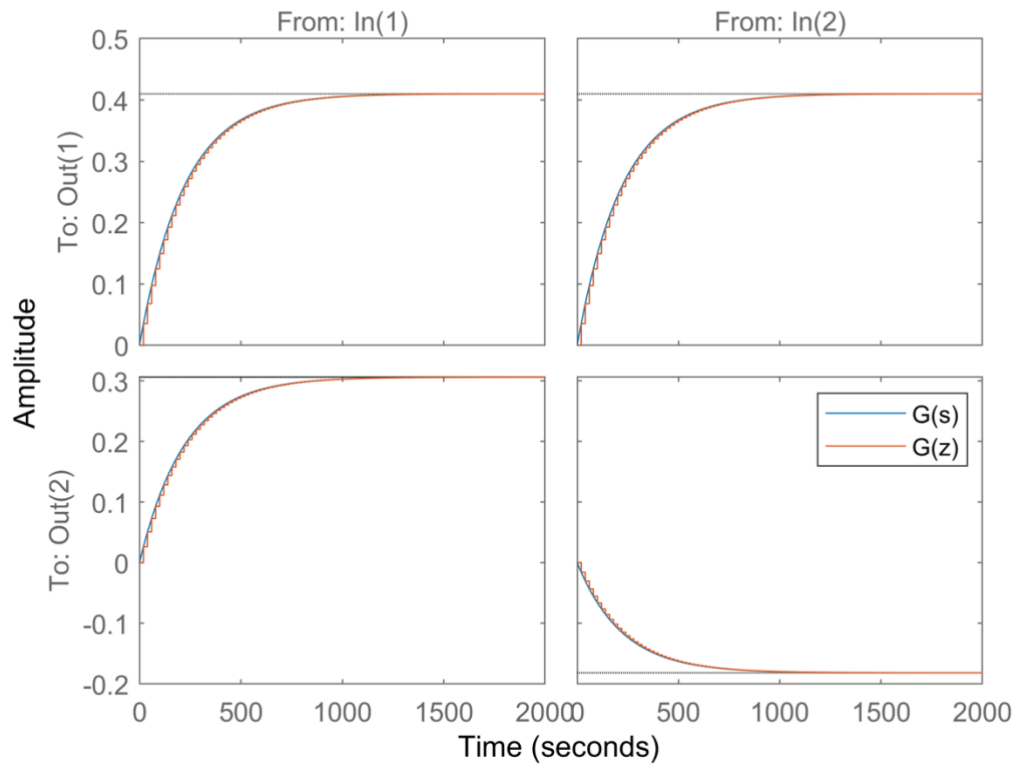
Step response $T_s = 5$



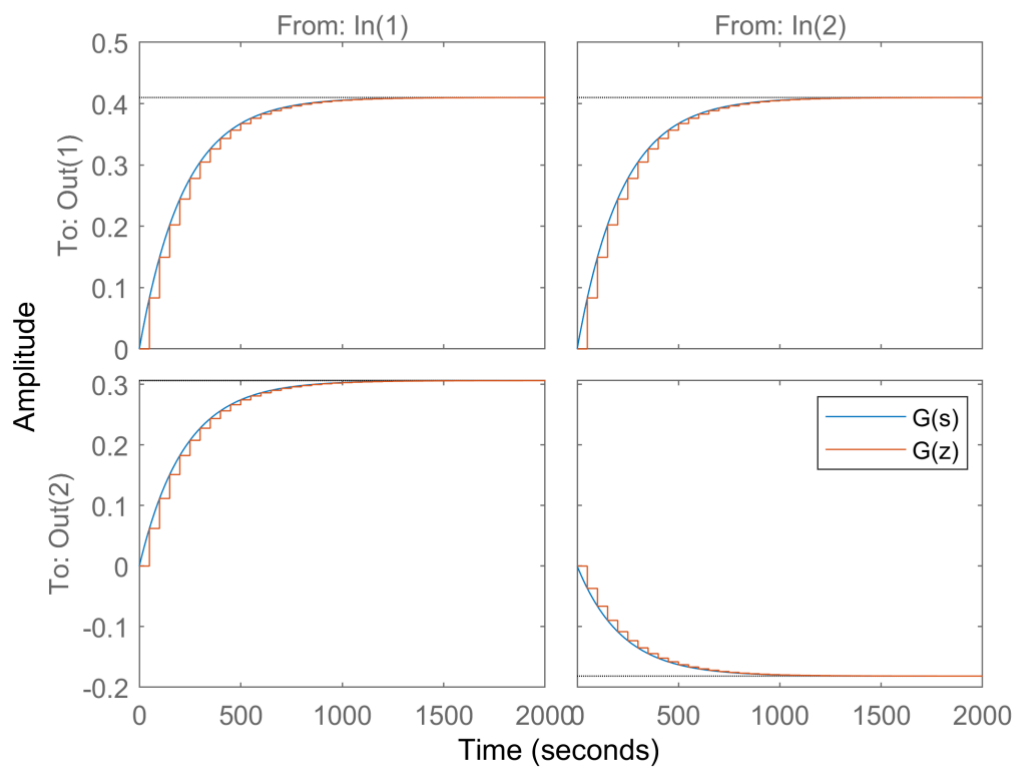
Step response $T_s = 10$



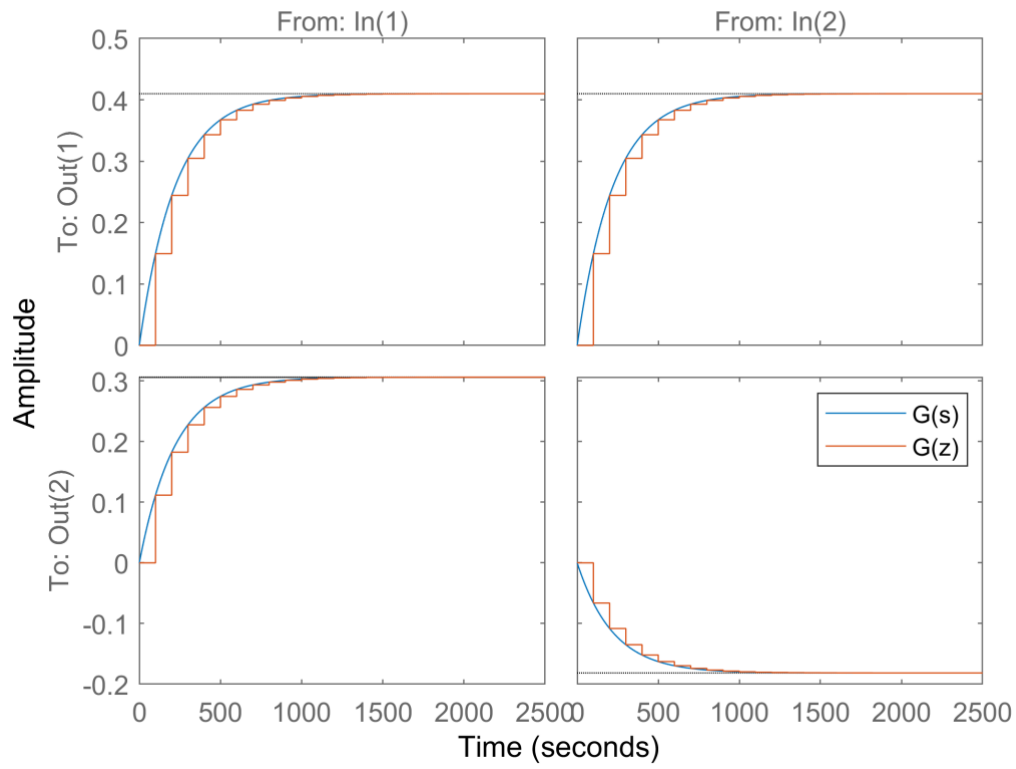
Step response $T_s = 20$



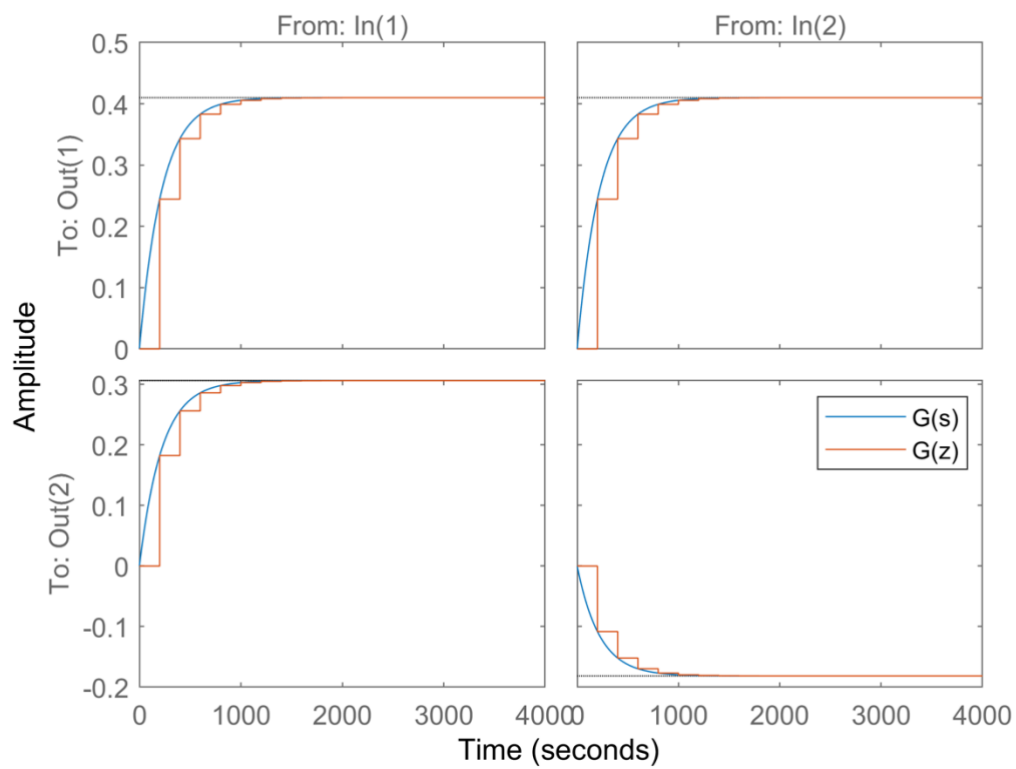
Step response $T_s = 50$

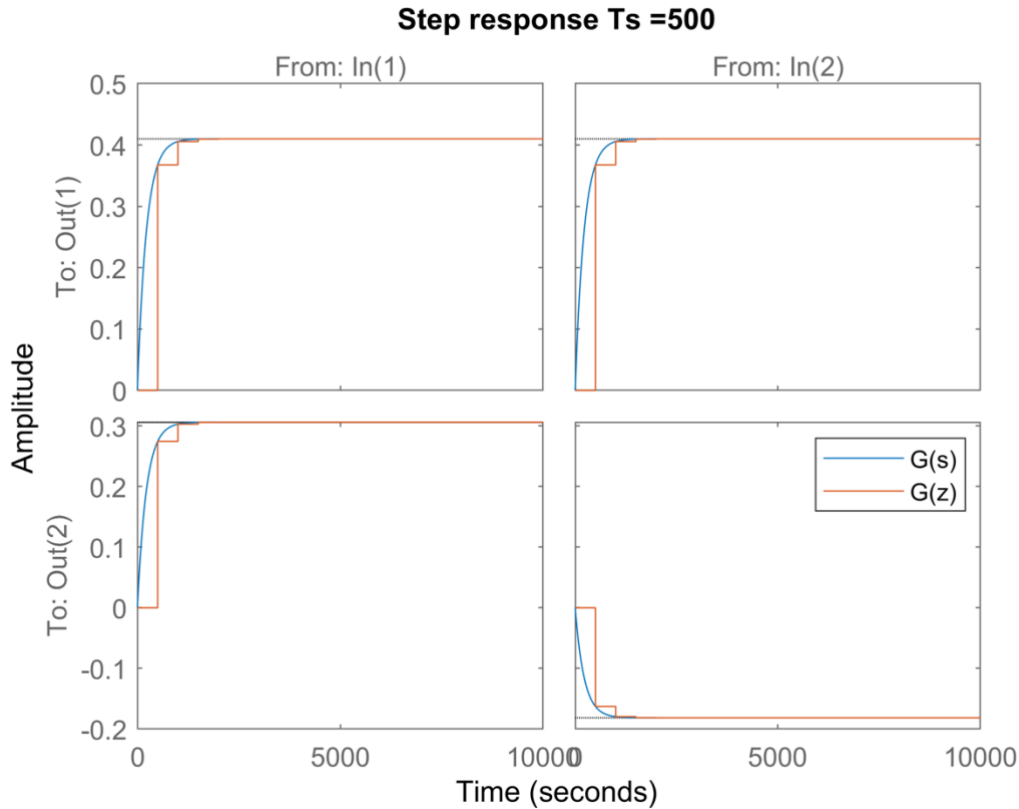


Step response $T_s = 100$



Step response $T_s = 200$





Na podstawie przeprowadzonych eksperymentów dla różnych czasów próbkowania został wybrany czas $T_s = 5$ s, ponieważ zachowany jest dobry charakter przebiegu. Jest to wybór, który optymalizuje jakość dyskretyzacji, ale również nie wymaga tak częstego próbkowania.

Zaimplementowano model dyskretny w postaci równań stanu w Matlabie. W celu uzyskania równań stanu modelu dyskretnego użyto funkcji wbudowanej programu MATLAB `ss`, która jako argumenty wejściowe przyjmuje: transmitancję dyskretną oraz metodę 'minimal', jako wyjście zwraca ona obiekt w postaci modelu dyskretnego równań stanu:

$$\begin{aligned} x[n+1] &= Ax[n] + Bu[n] \\ y[n] &= Cx[n] + Du[n] \end{aligned}$$

, gdzie:

$$A = \begin{bmatrix} 0.9557 & 0 \\ 0 & 0.9557 \end{bmatrix} \quad B = \begin{bmatrix} -0.1563 & 0.008984 \\ 0.05837 & -0.1146 \end{bmatrix}$$

$$C = \begin{bmatrix} -0.1807 & -0.1727 \\ -0.06244 & 0.06533 \end{bmatrix} \quad D = \begin{bmatrix} 0 & 0 \\ 0 & 0 \end{bmatrix}$$